

## บทที่ 4

### ผลการทดลองและวิเคราะห์ผล

งานวิจัยนี้ได้แบ่งการทดลองออกเป็น 2 ส่วน คือ ส่วนแรกทำการทดลองด้วยการจัดเรียงไฮโดรไซโคลนแบบอนุกรมที่ไม่ติดตั้งกริพอต โดยไฮโดรไซโคลนที่ใช้ในงานวิจัยมี 3 ขนาด คือ 75 50 และ 10 มิลลิเมตร นำมาจัดเรียงกันแบบอนุกรมแบ่งเป็น 3 ชุด คือ ชุดแรก 75 50 และ 10 มิลลิเมตร ชุดที่สอง 75 และ 50 มิลลิเมตร และชุดที่สาม 50 และ 10 มิลลิเมตร ส่วนที่สองทำการทดลองด้วยการจัดเรียงไฮโดรไซโคลนแบบอนุกรมที่ติดตั้งกริพอต โดยติดตั้งกริพอตที่ทางออกด้านล่างของไฮโดรไซโคลนทุกขนาด และจัดเรียงชุดการทดลองเข็นเดียวกับในส่วนแรก ซึ่งทั้งสองส่วนการทดลองนั้นแบ่งผันความดันจ่ายเข้า 4 ค่า ระหว่าง 0.5 - 3 บาร์ สำหรับส่วนการทดลองที่ติดตั้งกริพอตนั้นจะใช้เวลาในการดำเนินการของกริพอต ระหว่าง 30 - 360 นาที

ในการดำเนินการทดลอง ทำการเดินระบบแบบเปิดในสถานที่จริง คือ ศูนย์น้ำดิบจริงจากท่อส่งน้ำดิบในสถานีสูบน้ำดิบสำเเละ สูบเข้าสู่ถังเก็บน้ำในโรงงานน้ำร่อง (Pilot plant) และในหลังออกทดลองเวลาที่ดำเนินการทดลอง เพื่อให้น้ำที่ใช้ในการทดลองเป็นตัวแทนจริงของน้ำดิบนั้นๆ

สำหรับการเก็บตัวอย่างสำหรับการทดลองด้วยการจัดเรียงไฮโดรไซโคลนแบบอนุกรมที่ไม่ติดตั้งกริพอต ดำเนินการเก็บน้ำดิบสามารถเก็บที่ห่อสำหรับการไหลอ้อม (by pass) ส่วนดำเนินการเก็บน้ำด้วยท่อที่ผ่านไฮโดรไซโคลนอีก 2 แห่ง คือ น้ำด้วยท่อที่ผ่านไฮโดรไซโคลนที่ทางออกด้านล่าง (Underflow) และทางออกด้านบน (Overflow) สามารถเก็บได้โดยตรงจากห่อน้ำสำหรับทางออกด้านล่างและทางออกด้านบนที่ต่อออกนอกถังเก็บน้ำพลาสติก ซึ่งการต่อห่อน้ำที่ในหลังออกนอกถังเก็บน้ำพลาสติกทั้งสองทางนั้น เพื่อป้องกันน้ำไหลวนกลับเข้าสู่ไฮโดรไซโคลน

ในส่วนของการทดลองด้วยการจัดเรียงแบบอนุกรมของไฮโดรไซโคลนที่ติดตั้งกริพอตนั้น จะทำการเก็บตัวอย่างของน้ำดิบและน้ำด้วยท่อที่ในหลังออกทางด้านบนเข็นเดียวกับไฮโดรไซโคลนแบบธรรมดា ส่วนน้ำด้วยที่สะสมอยู่ในกริพอตนั้นสามารถเก็บได้โดยตรงจากวาล์วน้ำทึ้งของกริพอต ซึ่งจะเก็บตามเวลาที่ใช้ในการดำเนินการของกริพอตที่กำหนดไว้ ดังที่กล่าวไว้ในหัวข้อที่ 3.2

หลังจากนั้น นำน้ำด้วยที่ได้จากการทดลอง มาวิเคราะห์ผลที่ห้องปฏิบัติการ ภาควิชา วิศวกรรมสิ่งแวดล้อม คณะวิศวกรรมศาสตร์ จุฬาลงกรณ์มหาวิทยาลัย ซึ่งในงานวิจัยนี้ได้ทำการวัดพารามิเตอร์ ดังนี้ คือ ความเข้มข้นของแข็งแขวนลอย ความชื้น และขนาดอนุภาคทั้งก้อนและหลั่งเข้าไฮโดรไซโคลน

ผลการทดลองและการวิเคราะห์ผล ผู้วิจัยนำเสนอบอกมาด้วยกัน 6 หัวข้อหลัก คือ ความเข้มข้นของแข็งแหวนloyที่แยกได้จากไฮโดรไไซโคลน ประสิทธิภาพในการแยกของแข็งแหวนloy ของไฮโดรไไซโคลน มวลของแข็งแหวนloyที่แยกได้จากไฮโดรไไซโคลน พารามิเตอร์ที่มีผลต่อประสิทธิภาพในการแยกของแข็งแหวนloyของไฮโดรไไซโคลน ปริมาณสัลด์และค่าใช้จ่ายทั้งหมดที่ลดลงเมื่อติดตั้งไฮโดรไไซโคลนก่อนจ่ายเข้าสู่ระบบผลิตน้ำประปา และขนาดอนุภาคของแข็งแหวนloyที่แยกได้จากไฮโดรไไซโคลน

#### 4.1 ผลการทดลองด้วยการจัดเรียงไฮโดรไไซโคลนแบบอนุกรมที่ไม่ได้ติดตั้งกริพอด

ผลการทดลองด้วยการจัดเรียงไฮโดรไไซโคลนที่ไม่ได้ติดตั้งกริพอด จะแสดงผลในรูปของความเข้มข้นของแข็งแหวนloy (Suspended Solids, SS) และประสิทธิภาพในการแยกของแข็งแหวนloy (Solid Separation Efficiency)

##### 4.1.1 ความเข้มข้นของแข็งแหวนloyที่แยกได้

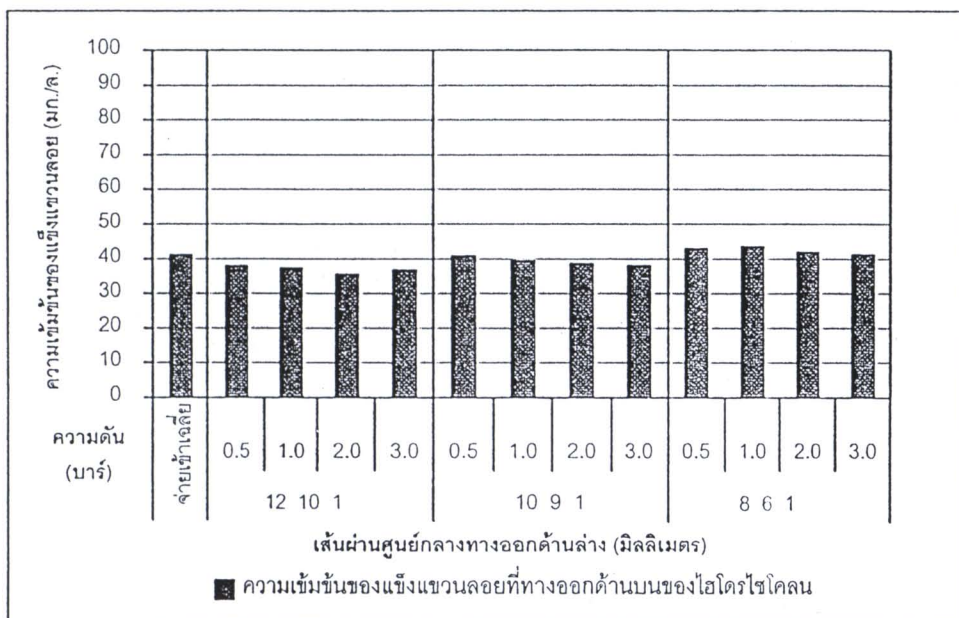
ในงานวิจัยนี้ได้ใช้น้ำดิบจริงทุกการทดลอง ดังนั้นความเข้มข้นของแข็งแหวนloyที่แยกได้จากไฮโดรไไซโคลนในแต่ละการทดลองจะมีค่าแตกต่างกันตามความเข้มข้นและสภาพแวดล้อมอื่นๆ ของน้ำดิบจริงในขณะนั้นๆ

จากการทดลองความเข้มข้นของแข็งแหวนloyที่แยกได้จากการจัดเรียงไฮโดรไไซโคลนแบบอนุกรมที่ไม่ได้ติดตั้งกริพอด พบว่า ความเข้มข้นของแข็งแหวนloyที่ได้จากน้ำด้วยตัวอย่างที่ทางออกด้านบนจะมีค่าน้อยกว่าความเข้มข้นของแข็งแหวนloyในน้ำด้วยตัวอย่างที่จ่ายเข้าและทางออกด้านล่าง และความเข้มข้นของแข็งแหวนloyที่ทางออกด้านล่างสูงกว่าที่ทางออกด้านบนไม่มากนัก โดยจะแสดงเหตุผลในหัวข้อต่อไป

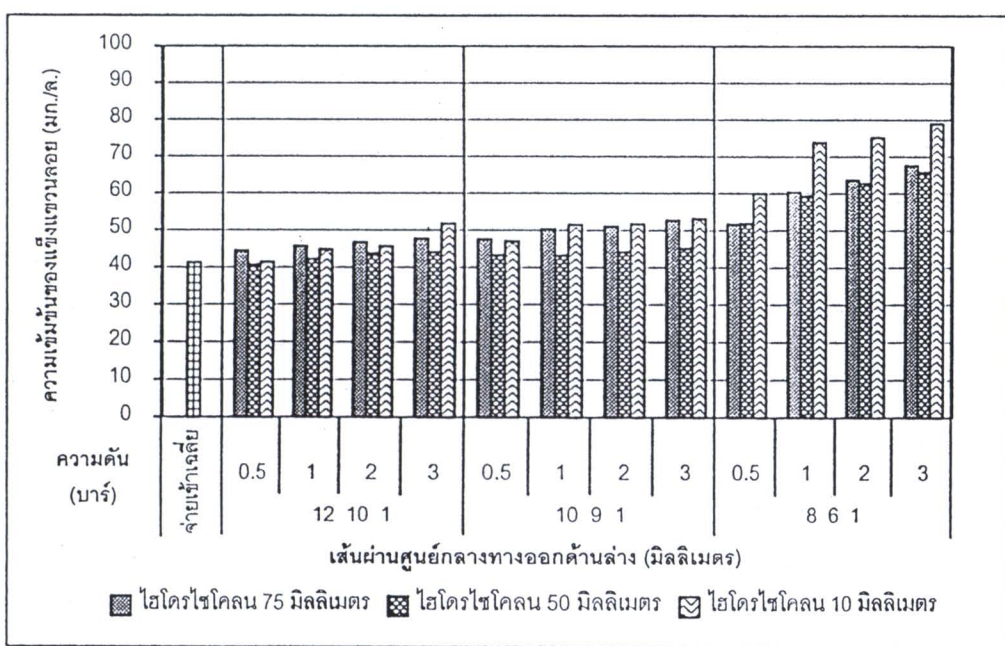
###### 4.1.1.1 การจัดเรียงไฮโดรไไซโคลนแบบอนุกรมขนาดเส้นผ่านศูนย์กลาง 75 50 และ 10 มิลลิเมตร ตามลำดับ

ผลการทดลองด้วยการจัดเรียงไฮโดรไไซโคลนแบบอนุกรมที่ใช้ขนาดเส้นผ่านศูนย์กลางทางออกด้านล่าง 3 ชุดการทดลองคือ ชุดแรก 12 10 และ 1 มิลลิเมตร ชุดที่สอง 10 9 และ 1 มิลลิเมตร และชุดที่สาม 8 6 และ 1 มิลลิเมตร ตามลำดับ ทั้งสามชุดการทดลองใช้ความดันจ่ายเข้า 0.5 1 2 และ 3 บาร์ ดังแสดงในรูปที่ 4.1 และ 4.2 (รายละเอียดแสดงในภาคผนวก ก) โดยมีความเข้มข้นของแข็งแหวนloyจ่ายเข้าเฉลี่ย 41.27 มิลลิกรัมต่อลิตร ความเข้มข้นของแข็งแหวนloyที่ทางออกด้านบนมีค่าอยู่ระหว่าง 36 - 43 มิลลิกรัมต่อลิตร และความเข้มข้นของแข็ง

แขวนloyที่ทางออกด้านล่างที่ไฮโดรไทโคลนขนาดเส้นผ่านศูนย์กลาง 75 มิลลิเมตร มีค่าอยู่ระหว่าง 45 - 68 มิลลิกรัมต่อลิตร ไฮโดรไทโคลนขนาดเส้นผ่านศูนย์กลาง 50 มิลลิเมตร มีค่าอยู่ระหว่าง 41 - 66 มิลลิกรัมต่อลิตร และไฮโดรไทโคลนขนาดเส้นผ่านศูนย์กลาง 10 มิลลิเมตร มีค่าอยู่ระหว่าง 42 - 79 มิลลิกรัมต่อลิตร



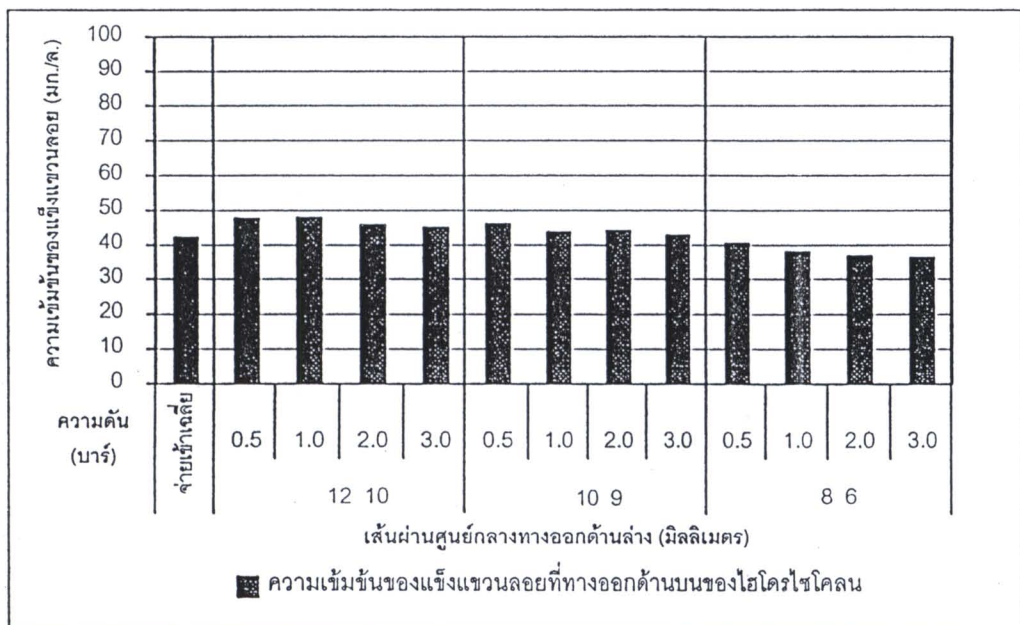
รูปที่ 4.1 ความเข้มข้นของเชิงแขวนloyที่ออกด้านบนของการจัดเรียงไฮโดรไทโคลนแบบอนุกรมขนาดเส้นผ่านศูนย์กลาง 75 50 และ 10 มิลลิเมตร ที่ไม่ได้ติดตั้งกริพพอต



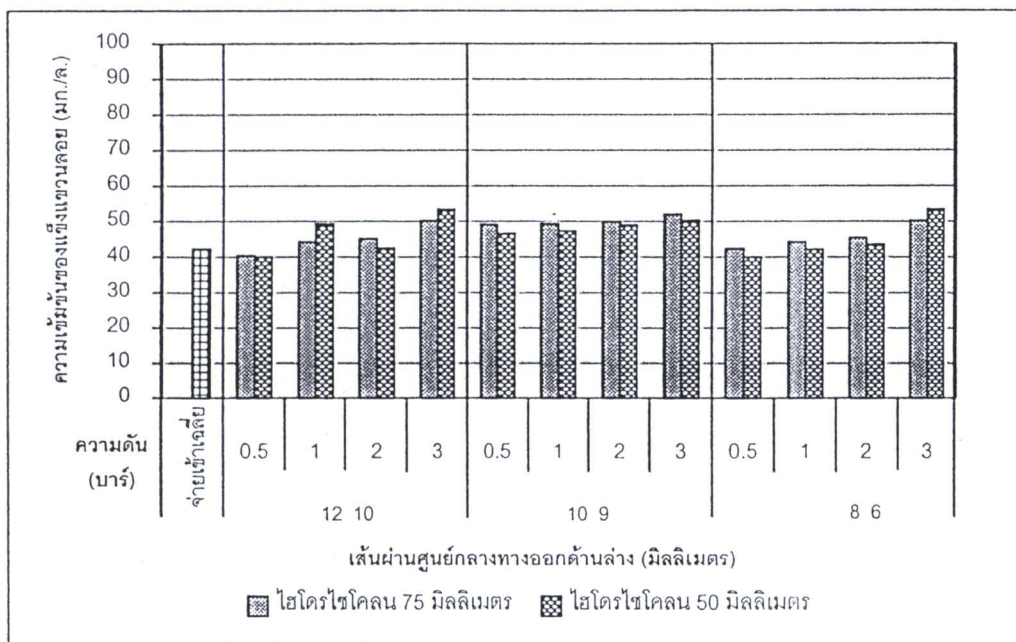
รูปที่ 4.2 ความเข้มข้นของเชิงแขวนloyที่ออกทางด้านล่างของการจัดเรียงไฮโดรไทโคลนแบบอนุกรมขนาดเส้นผ่านศูนย์กลาง 75 50 และ 10 มิลลิเมตร ที่ไม่ได้ติดตั้งกริพพอต

#### 4.1.1.2 การจัดเรียงไฮโดรไซโคลนแบบอนุกรมขนาดเส้นผ่านศูนย์กลาง 75 และ 50 มิลลิเมตร ตามลำดับ

ผลการทดลองด้วยการจัดเรียงไฮโดรไซโคลนแบบอนุกรมที่ให้ขนาดเส้นผ่านศูนย์กลางทางออกด้านล่าง 3 ชุดการทดลองคือ ชุดแรก 12 และ 10 มิลลิเมตร ชุดที่สอง 10 และ 9 มิลลิเมตร และชุดที่สาม 8 และ 6 มิลลิเมตร ตามลำดับ ทั้งสามชุดการทดลองใช้ความดันจ่ายเข้า 0.5 1 2 และ 3 บาร์ ตั้งแสดงในรูปที่ 4.3 และ 4.4 (รายละเอียดแสดงในภาคผนวก ก) โดยมีความเข้มข้นของแข็งแχวนลอยจ่ายเข้าเฉลี่ย 42.31 มิลลิกรัมต่อลิตร ความเข้มข้นของแข็งแχวนลอยที่ทางออกด้านบนมีค่าอยู่ระหว่าง 36 - 48 มิลลิกรัมต่อลิตร และความเข้มข้นของแข็งแχวนลอยที่ทางออกด้านล่างที่ไฮโดรไซโคลนขนาดเส้นผ่านศูนย์กลาง 75 มิลลิเมตร มีค่าอยู่ระหว่าง 43 - 54 มิลลิกรัมต่อลิตร และไฮโดรไซโคลนขนาดเส้นผ่านศูนย์กลาง 50 มิลลิเมตร มีค่าอยู่ระหว่าง 40 - 54 มิลลิกรัมต่อลิตร



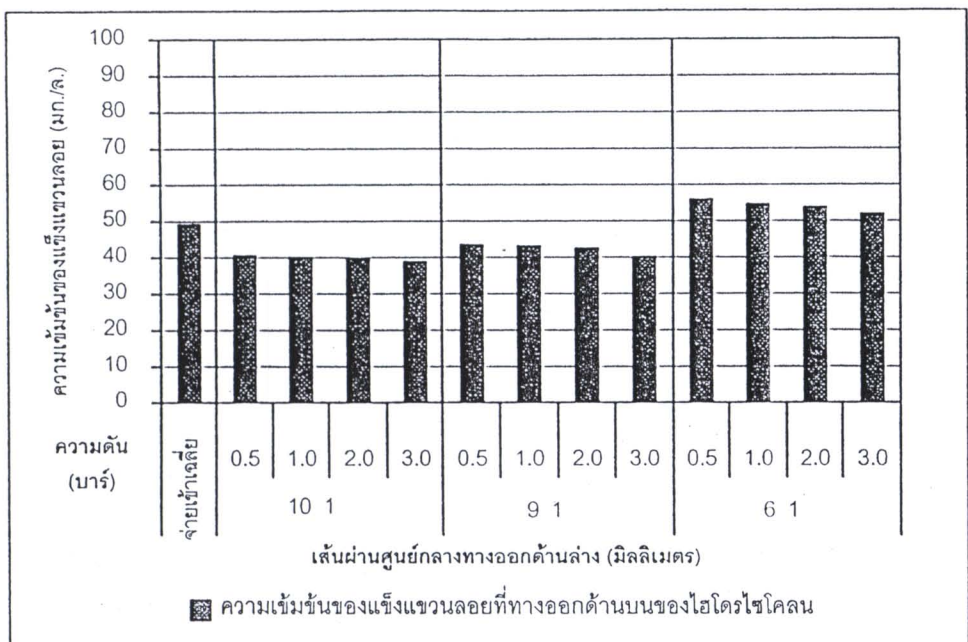
รูปที่ 4.3 ความเข้มข้นของแข็งแχวนลอยที่ออกทางด้านบนของการจัดเรียงไฮโดรไซโคลนแบบอนุกรมขนาดเส้นผ่านศูนย์กลาง 75 และ 50 มิลลิเมตร ที่ไม่ได้ติดตั้งกริฟพอด



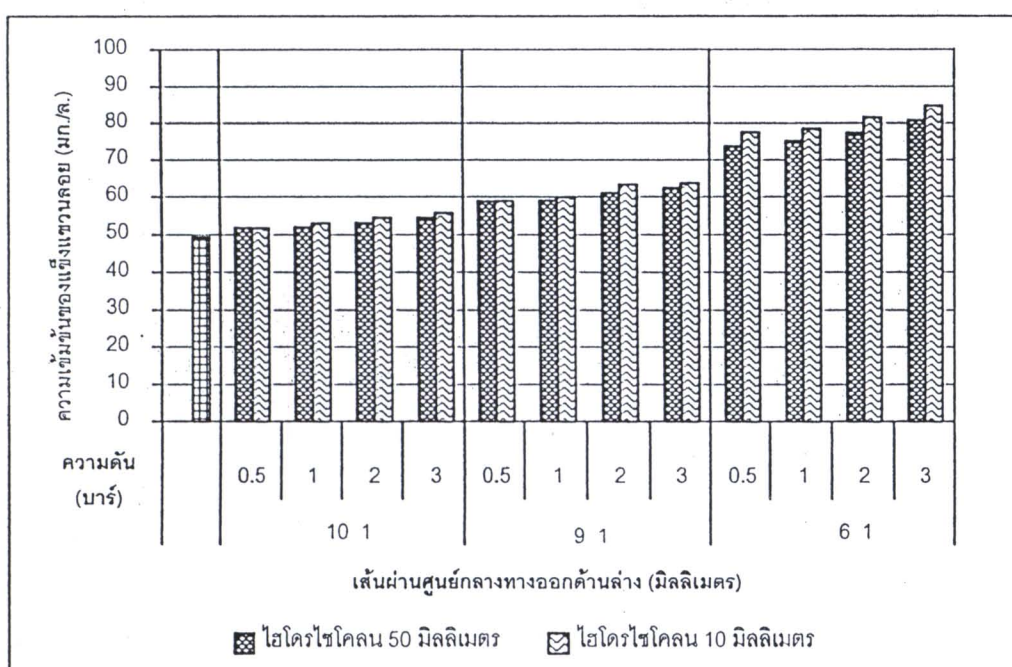
รูปที่ 4.4 ความเข้มข้นของแข็งแχวนลอยที่ออกทางด้านล่างของการจัดเรียงไฮโดรไรซ์โคลนแบบอนุกรมขนาดเส้นผ่านศูนย์กลาง 75 และ 50 มิลลิเมตร ที่ไม่ได้ติดตั้งกรีฟพอด

#### 4.1.1.3 การจัดเรียงไฮโดรไรซ์โคลนแบบอนุกรมขนาดเส้นผ่านศูนย์กลาง 50 และ 10 มิลลิเมตร ตามลำดับ

ผลการทดลองด้วยการจัดเรียงไฮโดรไรซ์โคลนแบบอนุกรมที่ใช้ขนาดเส้นผ่านศูนย์กลางทางออกด้านล่าง 3 ชุดการทดลองคือ ชุดแรก 10 และ 1 มิลลิเมตร ชุดที่สอง 9 และ 1 มิลลิเมตร และชุดที่สาม 6 และ 1 มิลลิเมตร ตามลำดับ ห้องสมุดการทดลองใช้ความดันจ่ายเข้า 0.5 1 2 และ 3 บาร์ ดังแสดงในรูปที่ 4.5 และ 4.6 (รายละเอียดแสดงในภาคผนวก ก) โดยมีความเข้มข้นของแข็งแχวนลอยจ่ายเข้าเฉลี่ย 49.26 มิลลิกรัมต่อลิตร ความเข้มข้นของแข็งแχวนลอยที่ทางออกด้านบนมีค่าอยู่ระหว่าง 39 - 56 มิลลิกรัมต่อลิตร และความเข้มข้นของแข็งแχวนลอยที่ทางออกด้านล่างที่ไฮโดรไรซ์โคลนขนาดเส้นผ่านศูนย์กลาง 50 มิลลิเมตร มีค่าอยู่ระหว่าง 52 - 81 มิลลิกรัมต่อลิตร และไฮโดรไรซ์โคลนขนาดเส้นผ่านศูนย์กลาง 10 มิลลิเมตร มีค่าอยู่ระหว่าง 52 - 85 มิลลิกรัมต่อลิตร



รูปที่ 4.5 ความเข้มข้นของเร็วแนวนลอยที่ออกทางด้านบนของการจัดเรียงไอิโอดร่าไซโคลนแบบอนุกรมขนาดเส้นผ่านศูนย์กลาง 50 และ 10 มิลลิเมตร ที่ไม่ได้ติดตั้งกริทพอด



รูปที่ 4.6 ความเข้มข้นของเร็วแนวนลอยที่ออกทางด้านล่างของการจัดเรียงไอิโอดร่าไซโคลนแบบอนุกรมขนาดเส้นผ่านศูนย์กลาง 50 และ 10 มิลลิเมตร ที่ไม่ได้ติดตั้งกริทพอด

จากการทดลอง พบว่า การจัดเรียงไฮโดรไชโคลนแบบอนุกรมโดยเริ่มจากไฮโดรไชโคลนขนาดใหญ่ก่อนไปสู่ไฮโดรไชโคลนขนาดเล็ก สามารถป้องกันการเกิดการอุดตันที่ซ่องทางออกด้านล่างของไฮโดรไชโคลนที่มีขนาดเล็ก เนื่องจากไฮโดรไชโคลนขนาดใหญ่คือ ไฮโดรไชโคลนขนาดเส้นผ่านศูนย์กลาง 75 และ 50 มิลลิเมตร จะแยกอนุภาคที่มีขนาดใหญ่ออกได้เกือบทั้งหมด และเมื่อมาถึงไฮโดรไชโคลนขนาดเล็ก ซึ่งก็คือไฮโดรไชโคลนขนาดเส้นผ่านศูนย์กลาง 10 มิลลิเมตร จะเหลือแค่อนุภาคขนาดเล็ก ทำให้สามารถแยกอนุภาคของแข็งข่วนลอยที่เหลือได้โดยไม่เกิดการอุดตันที่ซ่องทางออกด้านล่าง ซึ่งจะกล่าวรายละเอียดต่อไปในหัวข้อที่ 4.7 นอกจากนี้จากรูปที่ 4.1 จะเห็นได้ว่า ไฮโดรไชโคลนขนาดเส้นผ่านศูนย์กลาง 75 มิลลิเมตร สามารถแยกความเข้มข้นของแข็งข่วนลอยได้มากกว่าไฮโดรไชโคลนขนาด 50 มิลลิเมตร เนื่องจากอนุภาคที่จ่ายเข้าที่มีขนาดใหญ่จะถูกแยกออกหมดในไฮโดรไชโคลนขนาด 75 มิลลิเมตร ทำให้ในไฮโดรไชโคลนขนาด 50 มิลลิเมตร มีประสิทธิภาพในการแยกของแข็งข่วนลอยลดลง อีกทั้งเมื่อพิจารณาถึงความดันจ่ายเข้าในไฮโดรไชโคลนแต่ละตัวแล้ว พบว่ามีค่า ความดันลด (Head loss,  $h_L$ ) สูงมาก กล่าวคือ ที่ไฮโดรไชโคลนขนาด 75 มิลลิเมตร จ่ายความดันจ่ายเข้าตามที่กำหนดไว้ แต่เมื่อมาถึงไฮโดรไชโคลนขนาด 50 มิลลิเมตร ค่าความดันจะลดลง 30 เปอร์เซ็นต์ ทำให้แรงหนีแรงโน้มถ่วงภายในไฮโดรไชโคลนลดลง ซึ่งส่งผลให้ประสิทธิภาพการแยกของแข็งข่วนลอยในไฮโดรไชโคลนลดลง ดังแสดงในตารางที่ 4.1

ตารางที่ 4.1 เปรียบเทียบค่าความดันเมื่อผ่านไฮโดรไชโคลนของการจัดเรียงไฮโดรไชโคลนขนาดเส้นผ่านศูนย์กลาง 75 50 และ 10 มม. ที่ไม่ได้ติดตั้งกริพอดและที่ติดตั้งกริพอด ที่ความดัน 1 บาร์

| การจัดเรียงไฮโดรไชโคลน<br>แบบอนุกรม ขนาด 75 50 และ 10 มม. | ความดันก่อนเข้าไฮโดรไชโคลนตัวต่อไป (บาร์) |       |       |
|---|---|-------|-------|
|   | HC 75                                     | HC 50 | HC 10 |
| ที่ไม่ได้ติดตั้งกริพอด                                    | 1.0                                       | 0.7   | 0.3   |
| ที่ติดตั้งกริพอด  | 1.0                                       | 1.0   | 0.9   |

จากตารางที่ 4.1 เมื่อพิจารณาที่ไฮโดรไชโคลนขนาด 10 มิลลิเมตร ที่ถึงแม้ว่าความดันจ่ายเข้าจะลดลงถึง 57 เปอร์เซ็นต์ แต่ก็ยังสามารถแยกของแข็งข่วนลอยได้มากกว่าไฮโดรไชโคลนขนาดเส้นผ่านศูนย์กลาง 50 มิลลิเมตร ซึ่งแสดงให้เห็นว่าไฮโดรไชโคลนขนาด 10 มิลลิเมตร มีประสิทธิภาพในการแยกของแข็งข่วนลอยสูง เนื่องจากการลดขนาดเส้นผ่านศูนย์กลางของไฮโดรไชโคลนลง ทำให้แรงหนีแรงโน้มถ่วงหนึ่งหนึ่งศูนย์กลางภายในไฮโดรไชโคลนเพิ่มขึ้น ส่งผลให้ออนุภาคของแข็งที่มีความหนาแน่นมากในไฮโดรไชโคลนถูกหนีแรงโน้มถ่วงไปทางด้านล่างได้มากขึ้น ดังนั้นความเข้มข้นของแข็ง

hexagonal lattice ได้จากไฮโดรไซโคลนจึงเพิ่มขึ้นด้วย ซึ่งสอดคล้องกับทฤษฎีของ Helmotz's law (Puprasert, 2004) ทั้งนี้อาจสรุปได้ว่า เส้นผ่านศูนย์กลางของไฮโดรไซโคลนส่งผลต่อประสิทธิภาพการแยกของแข็งhexagonal lattice ซึ่งน่าจะส่งผลกระทบมากกว่าความดันจ่ายเข้า

#### 4.1.2 ประสิทธิภาพในการแยกของแข็งhexagonal lattice

ประสิทธิภาพในการแยกของแข็งhexagonal lattice ในไฮโดรไซโคลน (การคำนวณแสดงในภาคผนวก ค ) สามารถคำนวณได้จากสมการที่ 2.31 ดังสมการต่อไปนี้

$$\text{จากสมการที่ (2.26) ประสิทธิภาพลด } E_T = \frac{E_T - R_f}{1 - R_f}$$

$$\text{เมื่อ } E_T = \frac{M_u}{M} = \frac{\varrho_{u(\text{total})} \cdot C_{u(\text{avg})}}{\varrho_f C_f} \quad \text{และ} \quad R_f = \frac{\varrho_{u(\text{total})}}{\varrho_f}$$

แทนค่าต่างๆ ลงในสมการที่ (2.26) จะได้ว่า

$$E_T = \frac{\varrho_{u(\text{total})} (C_{u(\text{avg})} - C_f)}{\varrho_f C_f} \times 100 \quad (2.31)$$

จากการคำนวณพบว่า ในการจัดเรียงไฮโดรไซโคลนแบบอนุกรมที่ไม่ได้ติดตั้งกริพห์พอดทุกการจัดเรียงมีประสิทธิภาพในการแยกของแข็งhexagonal lattice สูงมากกว่า 100% ซึ่งไม่สะท้อนกับความเป็นจริง ทั้งนี้เนื่องจากในการจัดเรียงไฮโดรไซโคลนแบบอนุกรมที่ไม่ได้ติดตั้งกริพห์พอดมีอัตราการไหลที่ทางออกด้านบนต่ำ และอัตราการไหลที่ทางออกด้านล่างโดยรวมสูงมาก ส่งผลให้อัตราการแบ่งไหหล (R<sub>f</sub>) มีค่าสูงมาก เช่นเดียวกัน ทั้งที่โดยปกติแล้วควรจะมีค่าต่ำ และส่งผลให้ไฮโดรไซโคลนแบบอนุกรมที่ไม่ได้ติดตั้งกริพห์พอดให้ปริมาณน้ำที่ผ่านการบำบัดต่ำเมื่อเทียบกับน้ำเข้า ดังแสดงในตารางที่ 4.2

ตารางที่ 4.2 เปรียบเทียบความเข้มข้นของแข็งhexagonal lattice กับประสิทธิภาพในการแยกของแข็งhexagonal lattice ของการจัดเรียงไฮโดรไซโคลนแบบอนุกรมขนาดเส้นผ่านศูนย์กลาง 75 50 และ 10 มิลลิเมตร ที่ไม่ได้ติดตั้งกริพห์พอด

| ความ<br>ดัน<br>(บาร์) | ความเข้มข้นของแข็งhexagonal lattice (mg./l.) |                  |    |    |    |      | R <sub>f</sub> | อัตราไหล<br>ออกด้านบน<br>(Q <sub>o</sub> ) | อัตราไหล<br>ออกด้านล่าง<br>รวม (Q <sub>u(total)</sub> ) | ประสิทธิภาพใน<br>การแยกของแข็ง<br>hexagonal lattice<br>(เปอร์เซ็นต์) |  |  |  |  |
|-----------------------|--|------------------|----|----|----|------|----------------|--|---|--|--|--|--|--|
|                       | ทางออกด้านล่าง                               |                  |    | 75 | 50 | 10   |                |  |   |  |  |  |  |  |
|                       | จ่าย<br>เข้า                                 | ทางออก<br>ด้านบน |    |    |    |      |                |  |   |  |  |  |  |  |
| 0.5                   | 38   | 38               | 45 | 41 | 42 | 0.96 | 0.11           | 3.24                                       | 380.75 *  |  |  |  |  |  |
| 1.0                   | 38   | 37               | 46 | 43 | 45 | 0.95 | 0.15           | 4.26                                       | 446.16 *  |  |  |  |  |  |
| 2.0                   | 38   | 36               | 47 | 44 | 46 | 0.92 | 0.17           | 5.18                                       | 581.74 *  |  |  |  |  |  |
| 3.0                   | 38   | 37               | 48 | 45 | 52 | 0.97 | 0.19           | 5.90                                       | 651.13 *  |  |  |  |  |  |

\* ค่าที่ได้ไม่สะท้อนกับความเป็นจริง เนื่องจากมีค่า R<sub>f</sub> สูงมาก จึงไม่คำนึงถึงค่าที่ได้นำมาใช้งานจริง

นอกจากนี้ไฮโดรไซโคลนแบบอนุกรมที่ไม่ได้ติดตั้งกริพอตยังมีอัตราการไหลที่ทางออกด้านล่าง โดยเฉพาะไฮโดรไซโคลนตัวแรกจะมีอัตราการไหลที่ทางออกด้านล่างสูงมาก ทำให้น้ำที่ผ่านไฮโดรไซโคลนแบบอนุกรมตัวต่อไปมีอัตราการไหลต่ำลง ดังตารางที่ 4.3

ตารางที่ 4.3 อัตราการไหลของไฮโดรไซโคลนแบบอนุกรมขนาดเส้นผ่านศูนย์กลาง 75 50 และ 10 มิลลิเมตร ตามลำดับ ที่ไม่ได้ติดตั้งกริพอต ขนาดเส้นผ่านศูนย์กลางทางออกด้านล่าง 8 6 และ 1 มิลลิเมตร ตามลำดับ

| ความดัน<br>จ่ายเข้า<br>(บาร์) | อัตราการไหล (ลูกบาศก์เมตรต่อชั่วโมง) |                        |                |       |       |      |
|-------------------------------|--------------------------------------|------------------------|----------------|-------|-------|------|
|                               | จ่ายเข้า                             | ทางออก<br>ด้านบน HC 10 | ทางออกด้านล่าง |       |       |      |
|                               |                                      |                        | HC 75          | HC 50 | HC 10 | รวม  |
| 0.5                           | 2.34                                 | 0.15                   | 1.57           | 0.57  | 0.05  | 2.19 |
| 1.0                           | 3.20                                 | 0.17                   | 1.91           | 0.97  | 0.13  | 3.01 |
| 2.0                           | 4.10                                 | 0.20                   | 2.45           | 1.20  | 0.24  | 3.89 |
| 3.0                           | 4.89                                 | 0.24                   | 2.75           | 1.57  | 0.32  | 4.64 |

\* ค่าอัตราการไหลที่ได้ มาจากการวัดจริง ทำให้มีความคลาดเคลื่อนอยู่เล็กน้อย

จากตารางที่ 4.3 จะเห็นได้ว่าอัตราการไหลที่ทางออกด้านล่างโดยรวมมีค่ามากกว่าที่ทางออกด้านบนโดยเฉลี่ยประมาณ 18 เท่า แสดงให้เห็นว่าน้ำที่ผ่านไฮโดรไซโคลนแบบอนุกรมที่ไม่ได้ติดตั้งกริพอตโดยส่วนใหญ่จะออกที่ทางออกด้านล่าง ส่งผลให้อัตราไหลออกทางด้านบนของไฮโดรไซโคลนขนาด 75 มิลลิเมตร (ซึ่งก็คืออัตราการไหลเข้าของไฮโดรไซโคลนขนาด 50 มิลลิเมตร) และอัตราการไหลออกทางด้านบนของไฮโดรไซโคลนขนาด 50 มิลลิเมตร (ซึ่งก็คืออัตราการไหลเข้าของไฮโดรไซโคลนขนาด 10 มิลลิเมตร) มีค่าลดลงเป็นอย่างมากตามลำดับ โดยผลของการที่อัตราการไหลเข้าของไฮโดรไซโคลนดังกล่าวลดลง ทำให้ความดันในหลอดเข้าของไฮโดรไซโคลนมีค่าต่ำไปด้วย ดังแสดงในตารางที่ 4.4 ซึ่งความดันที่ต่ำลงดังกล่าวทำให้ประสิทธิภาพการแยกของแข็งแขวนลอยต่ำลงมากไปด้วย นอกจากนี้ยังส่งผลให้น้ำที่ไหลออกที่ทางออกด้านบนของไฮโดรไซโคลน 10 มิลลิเมตร มีปริมาณน้อยมากอีกด้วย

ตารางที่ 4.4 ความดันลดของการจัดเรียงไฮโดรไซโคลนแบบอนุกรมขนาดเส้นผ่านศูนย์กลาง 75 50 และ 10 มิลลิเมตร ตามลำดับ ที่ไม่ได้ติดตั้งกริพพอต ขนาดเส้นผ่านศูนย์กลางทางออกด้านล่าง 8.6 และ 1 มิลลิเมตร ตามลำดับ

| ความดันจ่ายเข้า(บาร์) | ความดันก่อนเข้าไฮโดรไซโคลนตัวต่อไป (บาร์) |                |
|-----------------------|---|----------------|
|                       | ก่อนเข้า HC 50                            | ก่อนเข้า HC 10 |
| 0.5                   | 0.40                                      | 0.10           |
| 1.0                   | 0.80                                      | 0.50           |
| 2.0                   | 1.60                                      | 1.00           |
| 3.0                   | 2.50                                      | 1.60           |

จากเหตุผลที่กล่าวมาทั้งหมดนี้ทำให้สามารถสรุปได้ว่า ไฮโดรไซโคลนแบบอนุกรมที่ไม่ได้ติดตั้งกริพพอตที่นำมาใช้บำบัดน้ำดิบในงานวิจัยนี้ไม่เหมาะสมที่จะนำไปใช้ในงานจริง ซึ่งจะไม่ขอกล่าวถึงอีกในหัวข้อต่อๆ ไป

#### 4.2 ผลการทดลองด้วยการจัดเรียงไฮโดรไซโคลนแบบอนุกรมที่ติดตั้งกริพพอต

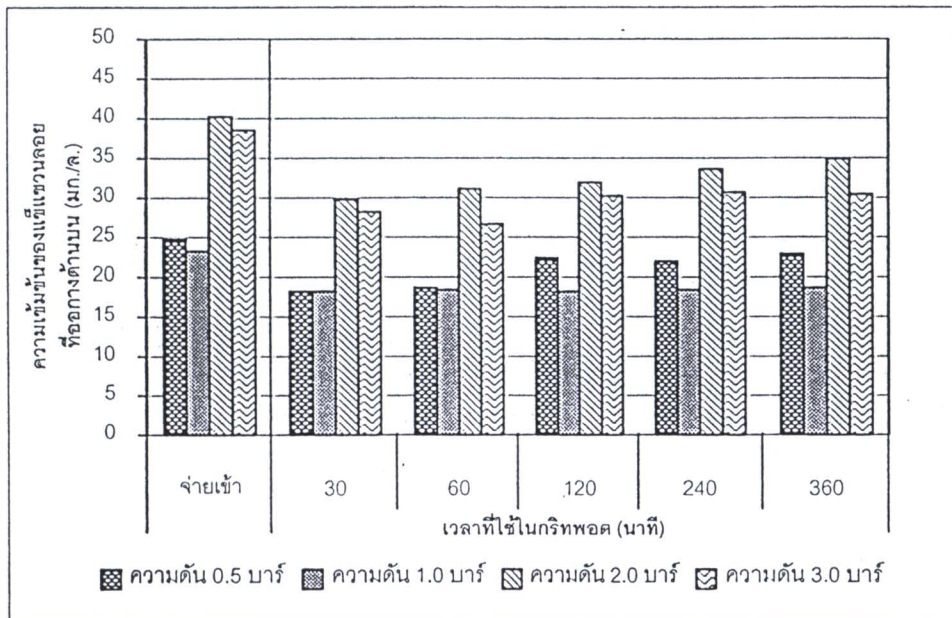
ผลการทดลองด้วยการจัดเรียงไฮโดรไซโคลนที่ติดตั้งกริพพอต จะแสดงผลในรูปของความเข้มข้นของแข็งแขวนลอย (Suspended Solids, SS) และประสิทธิภาพในการแยกของแข็งแขวนลอย (Solid Separation Efficiency) เช่นกัน

##### 4.2.1 ความเข้มข้นของแข็งแขวนลอยที่แยกໄດ້

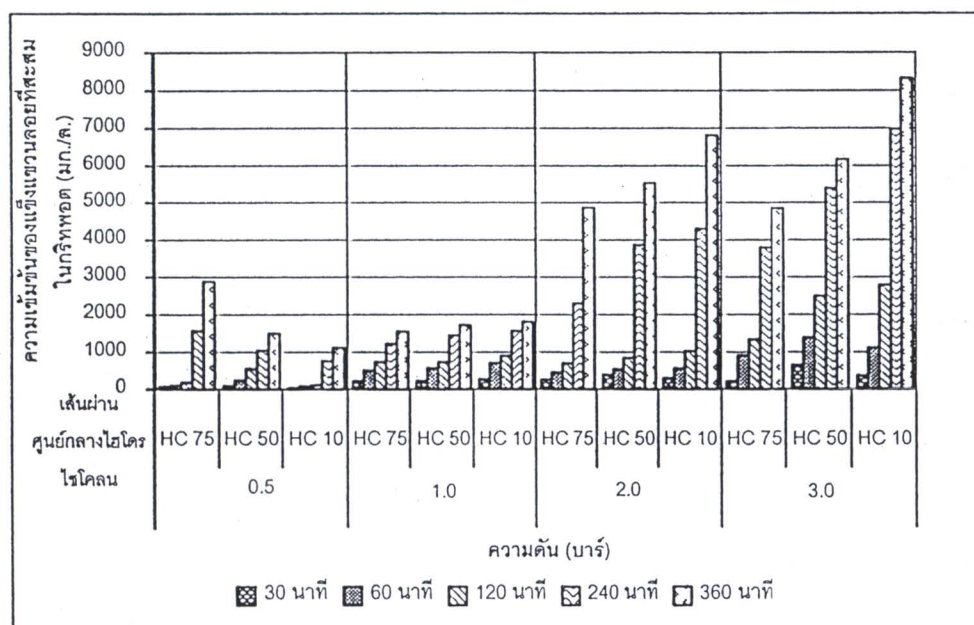
###### 4.2.1.1 การจัดเรียงไฮโดรไซโคลนแบบอนุกรมขนาดเส้นผ่านศูนย์กลาง 75 50 และ 10 มิลลิเมตร ตามลำดับ

ผลการทดลองด้วยการจัดเรียงไฮโดรไซโคลนแบบอนุกรมที่ติดตั้งกริพพอต โดยไฮโดรไซโคลนขนาดเส้นผ่านศูนย์กลาง 75 และ 50 มิลลิเมตร ใช้เส้นผ่านศูนย์กลางทางออกด้านล่าง 10 มิลลิเมตร และโดยไฮโดรไซโคลนขนาดเส้นผ่านศูนย์กลาง 10 มิลลิเมตร มีเส้นผ่านศูนย์กลางทางออกด้านล่าง 1 มิลลิเมตร ที่ความดันจ่ายเข้า 0.5 1 2 และ 3 บาร์ ดังแสดงในรูปที่ 4.7 และ 4.8 (รายละเอียดผลการทดลองแสดงในภาคผนวก ก) พบว่า ความเข้มข้นของแข็งแขวนลอยจ่ายเข้ามีค่าเฉลี่ย 31.70 มิลลิกรัมต่อลิตร ความเข้มข้นของแข็งแขวนลอยที่ทางออกด้านบนมีค่าอยู่ระหว่าง 18 - 35 มิลลิกรัมต่อลิตร และความเข้มข้นของแข็งแขวนลอยที่สะสมในกริพพอตของไฮโดรไซโคลนขนาดเส้นผ่านศูนย์กลาง 75 มิลลิเมตร ที่เวลาต่างๆ มีค่าอยู่ระหว่าง 85 - 4,861

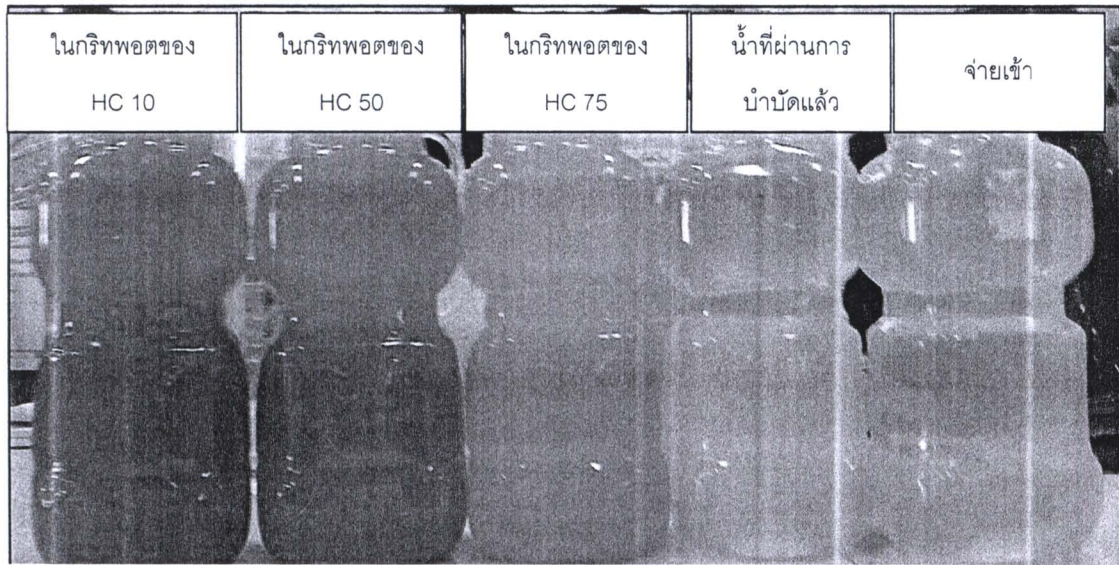
มิลลิกรัมต่อลิตร ไฮโดรไซโคลนขนาดเส้นผ่าศูนย์กลาง 50 มิลลิเมตร ที่เวลาต่างๆ มีค่าอยู่ระหว่าง 97 - 6,180 มิลลิกรัมต่อลิตร และไฮโดรไซโคลนขนาดเส้นผ่าศูนย์กลาง 10 มิลลิเมตร ที่เวลาต่างๆ มีค่าอยู่ระหว่าง 40 - 8,331 มิลลิกรัมต่อลิตร



รูปที่ 4.7 ความเข้มข้นของแข็ง微塵 ที่ออกทางด้านบนของการจัดเรียงไฮโดรไซโคลนแบบอนุกรมขนาดเส้นผ่านศูนย์กลาง 75 50 และ 10 มิลลิเมตร ที่ติดตั้งกริพพอต



รูปที่ 4.8 ความเข้มข้นของแข็ง微塵 ที่สะสมในกริพพอตของการจัดเรียงไฮโดรไซโคลนแบบอนุกรมขนาดเส้นผ่านศูนย์กลาง 75 50 และ 10 มิลลิเมตร ที่ติดตั้งกริพพอต



รูปที่ 4.9 ลักษณะน้ำด้วยอย่างจาก 5 ช่องทางการไหลของกราดเรียงไฮดร่าเซลล์แบบอนุกรมขนาดเส้นผ่านศูนย์กลาง 75 50 และ 10 มิลลิเมตร ที่ความดัน 3 บาร์ ใช้เวลาในกริทพอต 240 นาที

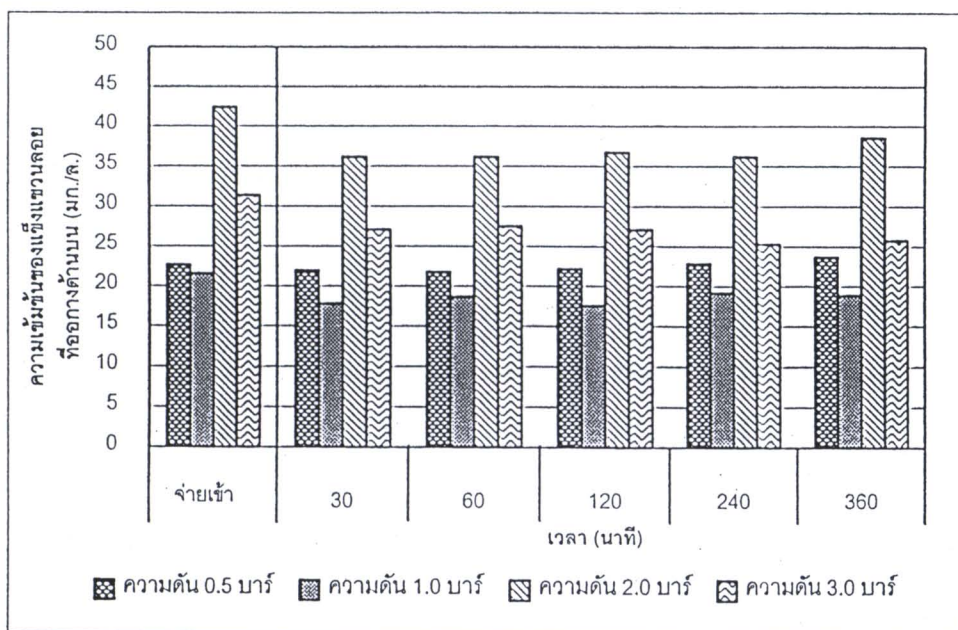
รูปที่ 4.9 แสดงถึงลักษณะน้ำด้วยอย่างจาก 5 ช่องทางการไหลของไฮดร่าเซลล์ ซึ่งภายในมีปริมาณของแข็งแขวนลอยที่สะสมตัวอยู่ในกริทพอต จะเห็นว่าไฮดร่าเซลล์ขนาดเส้นผ่านศูนย์กลาง 10 มิลลิเมตร มีความชุนมากที่สุด ดังตารางที่ 4.5 ตามด้วยไฮดร่าเซลล์ขนาด 50 และ 75 มิลลิเมตร ตามลำดับ

ตารางที่ 4.5 ความชุนของแข็งแขวนลอยที่แยกได้ของกราดเรียงไฮดร่าเซลล์แบบอนุกรมขนาดเส้นผ่านศูนย์กลาง 75 50 และ 10 มิลลิเมตร ที่เวลาต่างๆ

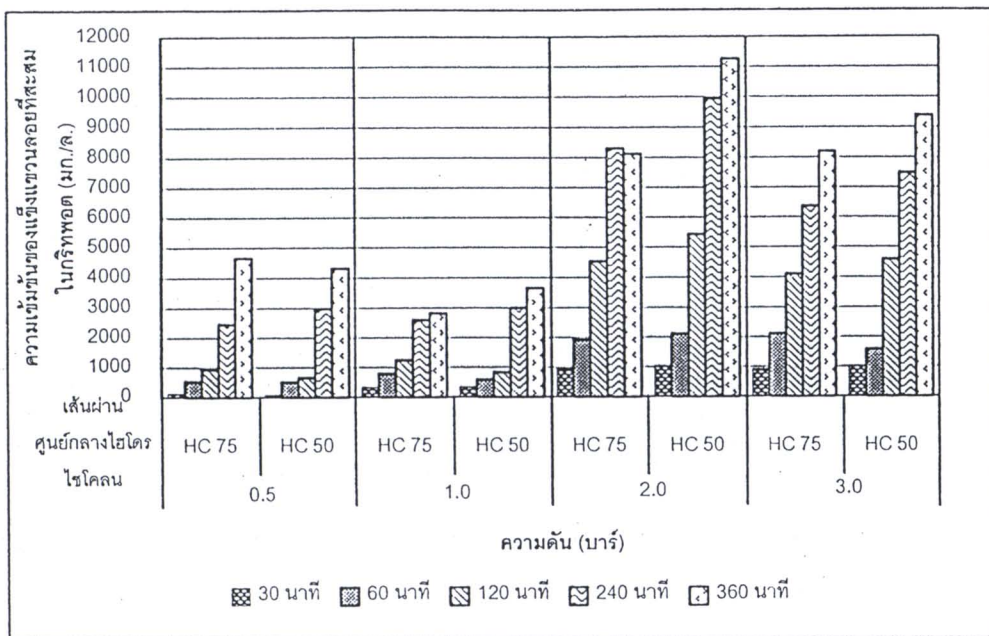
| ความดัน<br>จ่ายเข้า<br>(บาร์) | เวลาที่ใช้<br>ในกริทพอต<br>(นาที) | ความชุนของแข็งแขวนลอย (เอินทีบี) |                  |                                |       |       |
|-------------------------------|-----------------------------------|----------------------------------|------------------|--------------------------------|-------|-------|
|                               |                                   | จ่ายเข้า                         | ทางออก<br>ด้านบน | ทางออกด้านล่าง (สะสมในกริทพอต) |       |       |
|                               |                                   |                                  |                  | HC 75                          | HC 50 | HC 10 |
| 3.0                           | 30                                | 40                               | 39               | 44                             | 51    | 57    |
|                               | 60                                | 40                               | 37               | 52                             | 61    | 75    |
|                               | 120                               | 43                               | 41               | 56                             | 71    | 94    |
|                               | 240                               | 43                               | 42               | 59                             | 83    | 200   |
|                               | 360                               | 43                               | 42               | 63                             | 86    | 230   |

#### 4.2.1.2 การจัดเรียงไฮโดรไซโคลนแบบอนุกรมขนาดเส้นผ่านศูนย์กลาง 75 และ 50 มิลลิเมตร ตามลำดับ

ผลการทดลองด้วยการจัดเรียงไฮโดรไซโคลนแบบอนุกรมที่ติดตั้งกริพอต โดยไฮโดรไซโคลนขนาดเส้นผ่านศูนย์กลาง 75 และ 50 มิลลิเมตร ใช้เส้นผ่านศูนย์กลางทางออกด้านล่าง 10 มิลลิเมตร ที่ความดันจ่ายเข้า 0.5 1 2 และ 3 บาร์ ตั้งแสดงในรูปที่ 4.10 และ 4.11 (รายละเอียดผลการทดลองแสดงในภาคผนวก ก) พบร่วมกันว่า ความเข้มข้นของแข็งแกร่งโดยจ่ายเข้ามีค่าเฉลี่ย 32.25 มิลลิกรัมต่อลิตร ความเข้มข้นของแข็งแกร่งโดยที่ทางออกด้านบนมีค่าอยู่ระหว่าง 18 - 55 มิลลิกรัมต่อลิตร และความเข้มข้นของแข็งแกร่งโดยที่สะสมในกริพอตของไฮโดรไซโคลนขนาดเส้นผ่านศูนย์กลาง 75 มิลลิเมตร ที่เวลาต่างๆ มีค่าอยู่ระหว่าง 18 – 8,301 มิลลิกรัมต่อลิตร และไฮโดรไซโคลนขนาดเส้นผ่านศูนย์กลาง 50 มิลลิเมตร ที่เวลาต่างๆ มีค่าอยู่ระหว่าง 91 – 11,271 มิลลิกรัมต่อลิตร



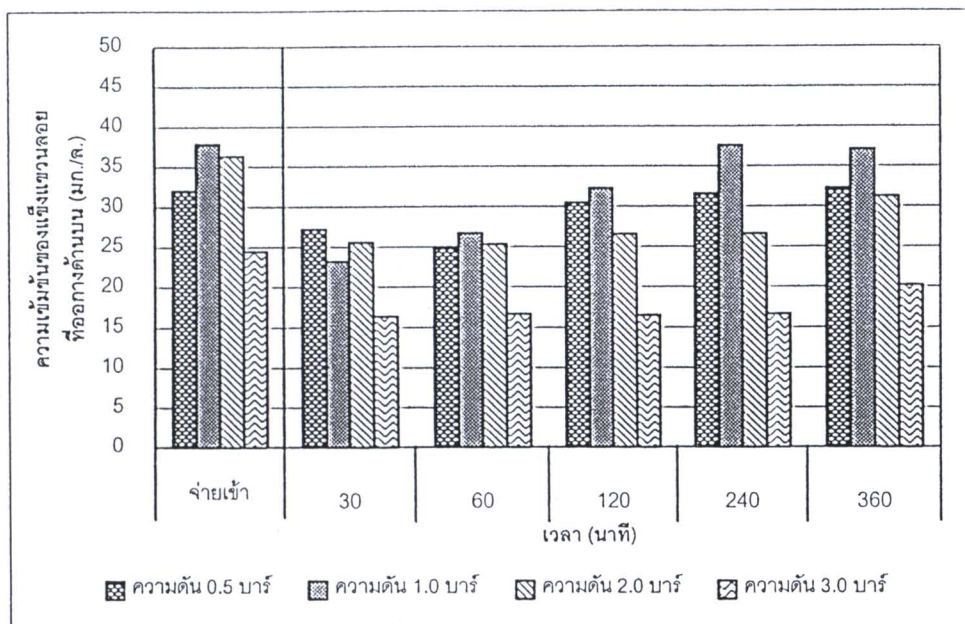
รูปที่ 4.10 ความเข้มข้นของแข็งแกร่งโดยที่ออกทางด้านบนของการจัดเรียงไฮโดรไซโคลนแบบอนุกรมขนาดเส้นผ่านศูนย์กลาง 75 และ 50 มิลลิเมตร ที่ติดตั้งกริพอต



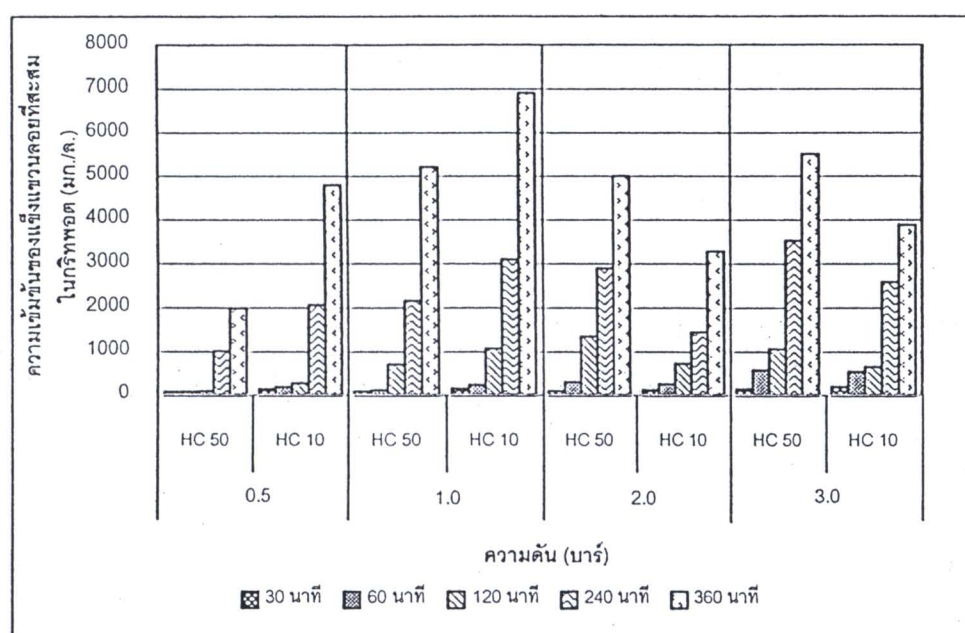
รูปที่ 4.11 ความเข้มข้นของแข็งแχวนloyที่สําสมในกริพอดของการจัดเรียงไอ์โคลนแบบอนุกรมขนาดเส้นผ่านศูนย์กลาง 75 และ 50 มิลลิเมตร ที่ติดตั้งกริพอด

#### 4.2.1.3 การจัดเรียงไอ์โคลนแบบอนุกรมขนาดเส้นผ่านศูนย์กลาง 50 และ 10 มิลลิเมตร ตามลำดับ

ผลการทดลองด้วยการจัดเรียงไอ์โคลนแบบอนุกรมที่ติดตั้งกริพอด โดยไอ์โคลนขนาดเส้นผ่านศูนย์กลาง 50 มิลลิเมตร ใช้เส้นผ่านศูนย์กลางทางหางออกด้านล่าง 10 มิลลิเมตร และไอ์โคลนขนาด 10 มิลลิเมตรใช้เส้นผ่านศูนย์กลางทางหางออกด้านล่าง 1 มิลลิเมตร ที่ความดันจ่ายเข้า 0.5 1.2 และ 3 บาร์ ดังแสดงในรูปที่ 4.12 และ 4.13 (รายละเอียดผลการทดลองแสดงในภาคผนวก ก) พบว่า ความเข้มข้นของแข็งแχวนloyจ่ายเข้ามีค่าเฉลี่ย 32.72 มิลลิกรัมต่อลิตร ความเข้มข้นของแข็งแχวนloyที่หางออกด้านบนมีค่าอยู่ระหว่าง 16 - 38 มิลลิกรัมต่อลิตร และความเข้มข้นของแข็งแχวนloyที่สําสมในกริพอดของไอ์โคลนขนาดเส้นผ่านศูนย์กลาง 50 มิลลิเมตร ที่เวลาต่างๆ มีค่าอยู่ระหว่าง 81 - 5,520 มิลลิกรัมต่อลิตร และไอ์โคลนขนาดเส้นผ่านศูนย์กลาง 10 มิลลิเมตร ที่เวลาต่างๆ มีค่าอยู่ระหว่าง 155 - 6,917 มิลลิกรัมต่อลิตร



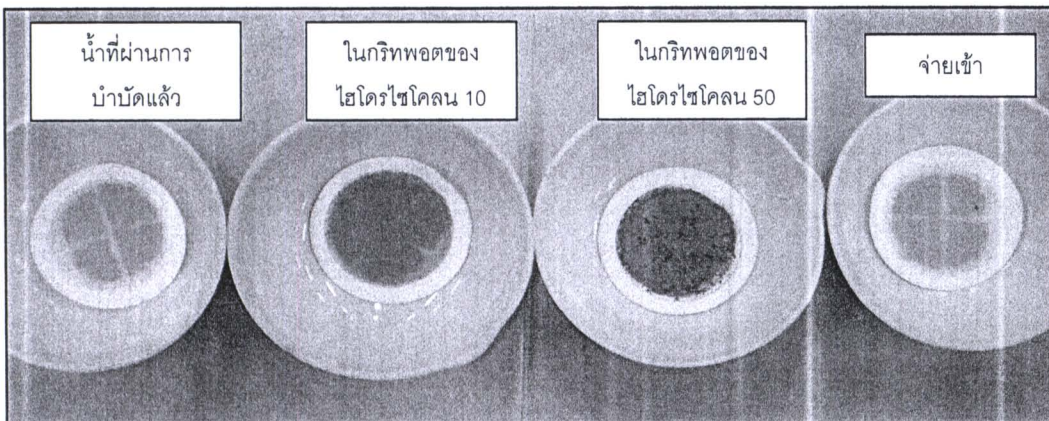
รูปที่ 4.12 ความเข้มข้นของแข็งแχวนลอยที่อุกทางด้านบนของการจัดเรียงไอกดร่าไซโคลนแบบ  
อนุกรมขนาดเส้นผ่านศูนย์กลาง 50 และ 10 มิลลิเมตร ที่ติดตั้งกริพพอต



รูปที่ 4.13 ความเข้มข้นของแข็งแχวนลอยที่สะสมในกริพพอตของการจัดเรียงไอกดร่าไซโคลนแบบ  
อนุกรมขนาดเส้นผ่านศูนย์กลาง 50 และ 10 มิลลิเมตร ที่ติดตั้งกริพพอต

เมื่อพิจารณาความเข้มข้นของแข็งแχวนลอยที่ทางออกด้านบนของการจัดเรียงไอกดร่าไซโคลน  
พบว่า ความเข้มข้นในแต่ละการจัดเรียงของการจัดเรียงไอกดร่าไซโคลนแบบอนุกรมทั้ง 3 แบบ มีค่า  
ไม่แตกต่างกันอย่างชัดเจน แต่อย่างไรก็ตาม การจัดเรียงไอกดร่าไซโคลนแบบอนุกรมทุกการจัดเรียง

ที่ติดตั้งกริพอต จะทำให้ความเข้มข้นของเชิงแขวนloyที่สะสมอยู่ภายในกริพอตมีค่ามากกว่าที่ทางออกด้านบน ดังแสดงในรูปที่ 4.14 ซึ่งเป็นข้อดีของการจัดเรียงไฮโดรไชโคลนแบบอนุกรมที่ติดตั้งกริพอตที่ทำหน้าที่คล้ายถังตักตะกอนขนาดเล็ก ช่วยทำให้ความเข้มข้นของน้ำออกที่ช่องทางออกด้านล่างมีค่าสูงขึ้นมาก



รูปที่ 4.14 ความเข้มข้นของเชิงแขวนloyทุกเส้นทางการไหลของการจัดเรียงไฮโดรไชโคลนขนาดเส้นผ่านศูนย์กลาง 50 และ 10 มิลลิเมตร ที่ติดตั้งกริพอต

ในการจัดเรียงแบบอนุกรมทั้ง 3 แบบนี้ จะให้ความเข้มข้นของเชิงแขวนloyที่สะสมอยู่ในกริพอตเข้มข้นมากขึ้นตามระยะเวลาดำเนินการในกริพอตเพิ่มมากขึ้น เนื่องจากในการจัดเรียงไฮโดรไชโคลนแบบอนุกรมที่ติดตั้งกริพอตจะไม่มีน้ำไหลออกที่ทางออกด้านล่าง ซึ่งตะกอนจะเก็บสะสมตัวอยู่ภายในกริพอต ทำให้ตะกอนมีความเข้มข้นมากขึ้น

ในการจัดเรียงแบบอนุกรมจากไฮโดรไชโคลนขนาดใหญ่ (ไฮโดรไชโคลนขนาดเส้นผ่านศูนย์กลาง 75 และ 50 มิลลิเมตร) ไปสู่ไฮโดรไชโคลนขนาดเล็ก (ไฮโดรไชโคลนขนาดเส้นผ่านศูนย์กลาง 10 มิลลิเมตร) เนื่องจากในไฮโดรไชโคลนขนาดเส้นผ่านศูนย์กลาง 10 มิลลิเมตร เป็นไฮโดรไชโคลนที่มีขนาดเล็ก จึงทำการจัดเรียงแบบอนุกรมเช่นนี้เพื่อป้องกันการอุดตันที่อาจจะเกิดขึ้นภายใต้ไฮโดรไชโคลนขนาดเล็ก จากผลการทดลองจะเห็นได้ว่า ไฮโดรไชโคลนขนาด 75 และ 50 มิลลิเมตร ซึ่งเป็นไฮโดรไชโคลนที่มีขนาดใหญ่ สามารถแยกเอาของเชิงแขวนloyที่มีขนาดใหญ่ออกได้ โดยจะมีความเข้มข้นไม่แตกต่างกันอย่างชัดเจน ส่วนไฮโดรไชโคลนขนาด 10 มิลลิเมตร มีความเข้มข้นมากที่สุด เนื่องจากเป็นไฮโดรไชโคลนที่มีขนาดเล็ก จึงมีประสิทธิภาพในการแยกของเชิงแขวนloyที่ตกลงอยู่บนกระดาษกรองขนาดใหญ่กว่าไฮโดรไชโคลนขนาด 50 มิลลิเมตร มีของเชิงแขวนloyที่ตกลงอยู่บนกระดาษกรองขนาดใหญ่กว่าไฮโดรไชโคลนขนาด 10 มิลลิเมตร โดยรายละเอียดเรื่องขนาดอนุภาคจะกล่าวถึงในหัวข้อถัดไป

#### 4.2.2 ประสิทธิภาพในการการแยกของแข็งแขวนลอย

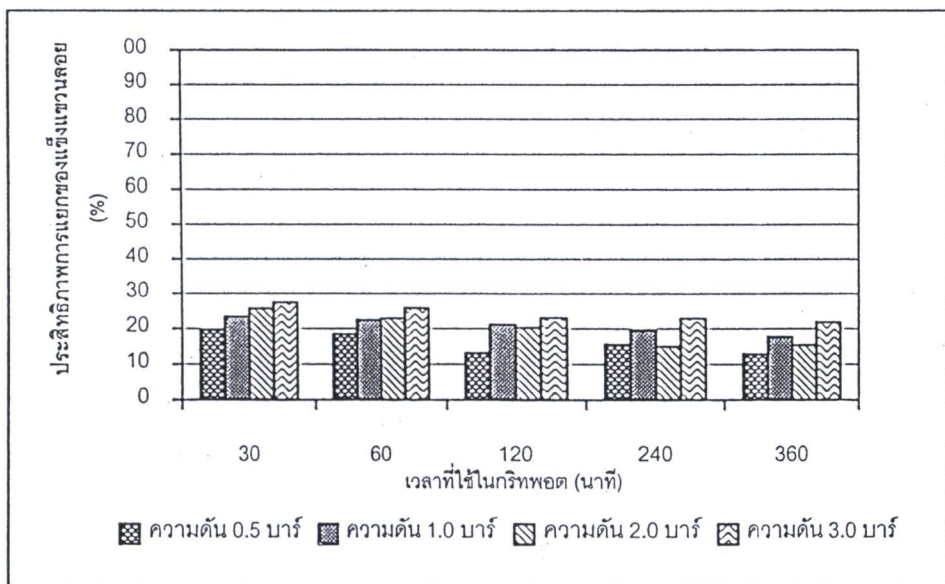
ประสิทธิภาพในการแยกของแข็งแขวนลอยในไฮโดรไซโคลนที่ติดตั้งกริพหอดสามารถคำนวณได้จากสมการที่ 2.34 ดังสมการต่อไปนี้

$$E_T = \frac{Q_f C_f T - Q_o C_o T}{Q_f C_f T} \times 100 \quad (2.34)$$

โดย T คือ เวลาที่ใช้ดำเนินการในกริพหอด

##### 4.2.2.1 การจัดเรียงไฮโดรไซโคลนแบบอนุกรมขนาดเส้นผ่าศูนย์กลาง 75 50 และ 10 มิลลิเมตร ตามลำดับ

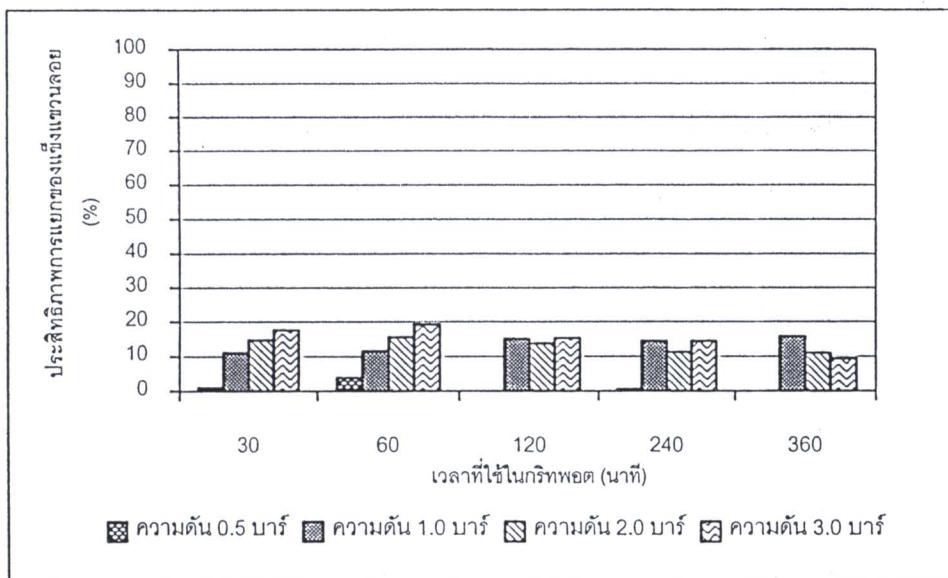
เมื่อคำนวณประสิทธิภาพในการแยกของแข็งแขวนลอยของการจัดเรียงไฮโดรไซโคลนแบบอนุกรมที่ติดตั้งกริพหอด ดังสมการที่ 2.34 (รายละเอียดการคำนวณแสดงในภาคผนวก ข) พบว่า ประสิทธิภาพในการแยกของแข็งแขวนลอยของการจัดเรียงไฮโดรไซโคลนแบบอนุกรมที่ติดตั้งกริพหอด มีค่าอยู่ระหว่าง 12.90 - 27.44 เปอร์เซ็นต์ และมีค่าเฉลี่ยประมาณ 20.21 เปอร์เซ็นต์ โดยมีค่าสูงสุดเท่ากับ 27.44 เปอร์เซ็นต์ ที่ความดัน 3.0 บาร์ และเวลาที่ใช้ดำเนินการในกริพหอด 30 นาที ดังแสดงในรูปที่ 4.15



รูปที่ 4.15 ประสิทธิภาพการแยกของแข็งแขวนลอยของการจัดเรียงไฮโดรไซโคลนแบบอนุกรมขนาดเส้นผ่านศูนย์กลาง 75 50 และ 10 มิลลิเมตร ตามลำดับ ที่ติดตั้งกริพหอด

#### 4.2.2.2 การจัดเรียงไฮโดรไซโคลนแบบอนุกรมขนาดเส้นผ่านศูนย์กลาง 75 และ 50 มิลลิเมตร ตามลำดับ

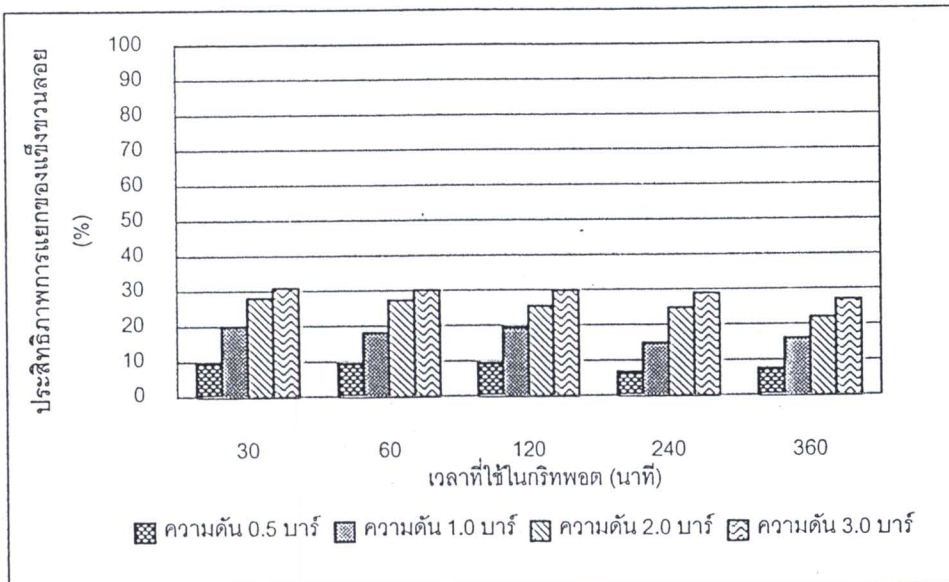
เมื่อคำนวณประสิทธิภาพในการแยกของแข็งแขวนลอยของการจัดเรียงไฮโดรไซโคลนแบบอนุกรมที่ติดตั้งกริพอต ดังสมการที่ 2.34 (รายละเอียดการคำนวณแสดงในภาคผนวก ข) พบว่า ประสิทธิภาพในการแยกของแข็งแขวนลอยของการจัดเรียงไฮโดรไซโคลนแบบอนุกรมที่ติดตั้งกริพอต มีค่าอยู่ระหว่าง 0 - 19.15 เปอร์เซ็นต์ และมีค่าเฉลี่ยประมาณ 10.75 เปอร์เซ็นต์ โดยมีค่าสูงสุดเท่ากับ 19.15 เปอร์เซ็นต์ ที่ความดัน 3.0 บาร์ และเวลาที่ใช้ดำเนินการในกริพอต 60 นาที ดังแสดงในรูปที่ 4.16



รูปที่ 4. 16 ประสิทธิภาพการแยกของแข็งแขวนลอยของการจัดเรียงไฮโดรไซโคลนแบบอนุกรมขนาดเส้นผ่านศูนย์กลาง 75 และ 50 มิลลิเมตร ตามลำดับ ที่ติดตั้งกริพอต

#### 4.2.2.3 การจัดเรียงไฮโดรไซโคลนแบบอนุกรมขนาดเส้นผ่านศูนย์กลาง 50 และ 10 มิลลิเมตร ตามลำดับ

เมื่อคำนวณประสิทธิภาพในการแยกของแข็งแขวนลอยของการจัดเรียงไฮโดรไซโคลนแบบอนุกรมที่ติดตั้งกริพอต ดังสมการที่ 2.34 (รายละเอียดการคำนวณแสดงในภาคผนวก ข) พบว่า ประสิทธิภาพในการแยกของแข็งแขวนลอยของการจัดเรียงไฮโดรไซโคลนแบบอนุกรมที่ติดตั้งกริพอต มีค่าอยู่ระหว่าง 7.63 - 30.89 เปอร์เซ็นต์ และมีค่าเฉลี่ยประมาณ 20.86 เปอร์เซ็นต์ โดยมีค่าสูงสุดเท่ากับ 30.89 เปอร์เซ็นต์ ที่ความดัน 3.0 บาร์ และเวลาที่ใช้ดำเนินการในกริพอต 30 นาที ดังแสดงในรูปที่ 4.17



รูปที่ 4.17 ประสิทธิภาพการแยกของเข็งแขนกลอยของการจัดเรียนไฮโดรไฮโคลนแบบอนุกรมขนาดเส้นผ่าศูนย์กลาง 50 และ 10 มิลลิเมตร ตามลำดับ ที่ติดตั้งกริพอต

ในงานวิจัยนี้ น้ำดิบที่นำมาใช้ในการทดลองนี้มีความเข้มข้นของเข็งแขนกลอยต่ำ จึงทำให้มีตะกอนของเข็งแขนกลอยที่สะสมตัวอยู่ในกริพอตไม่เต็มกริพอต เมื่อพิจารณาถึงผลของเวลาที่ใช้ในกริพอตกับประสิทธิภาพในการแยกของเข็งแขนกลอยของการจัดเรียนไฮโดรไฮโคลนแบบอนุกรมที่ติดตั้งกริพอต ดังแสดงในรูปที่ 4.15 ถึง 4.17 สามารถสรุปได้ว่า เมื่อเวลาที่ใช้ในกริพอตเพิ่มมากขึ้น ปริมาณของเข็งแขนกลอยที่สะสมอยู่ภายในกริพอตก็จะมีความเข้มข้นมากขึ้น ถึงแม้ว่าตะกอนที่สะสมจะไม่มีเต็มกริพอต แต่ก็มีอนุภาคของเข็งบางส่วนที่มีโอกาสในลักษณะของด้านบน ส่งผลให้ประสิทธิภาพในการแยกของเข็งแขนกลอยลดลง ซึ่งผลการทดลองนี้สอดคล้องกับงานวิจัยของ Puprasert, 2004 ที่กล่าวว่าเมื่อเวลาที่ใช้ในกริพอตเพิ่มขึ้น ประสิทธิภาพในการแยกของเข็งแขนกลอยลดลง เนื่องจากอนุภาคของเข็งแขนกลอยที่อยู่ภายในกริพอตจะไปขัดขวางอนุภาคใหม่ๆ ที่เข้ามาในกริพอต ทำให้อนุภาคของเข็งแขนกลอยมีโอกาสในลักษณะของด้านบน

สำหรับไฮโดรไฮโคลนแบบอนุกรมที่ติดตั้งกริพอตจะไม่มีอัตราการไหลที่ทางออกด้านล่าง ทำให้อัตราการไหลเข้ามีค่าเท่ากับอัตราการไหลออกที่ทางออกด้านบนของไฮโดรไฮโคลนขนาด 10 มิลลิเมตร ดังแสดงในตารางที่ 4.6 โดยจากค่าในตารางที่ 4.6 เห็นได้ชัดว่า ค่าอัตราการไหลเข้ามีค่าต่ำมากเมื่อเทียบกับอัตราการไหลเข้าของไฮโดรไฮโคลนที่ไม่ได้ติดตั้งกริพอต ทั้งนี้เนื่องจากอัตราการไหลถูกจำกัดด้วยความสามารถในการรับน้ำของไฮโดรไฮโคลนขนาด 10

มิลลิเมตร ดังนั้น หากต้องการนำบัดน้ำที่มีอัตราการไหลสูงๆ จึงอาจจำเป็นต้องติดตั้งไอกิโตรไชโคลนขนาด 10 มิลลิเมตร หลายตัว โดยต่อแบบขนาน เพื่อร่วงรับอัตราการไหลจากไอกิโตรไชโคลนขนาด 50 มิลลิเมตร

ตารางที่ 4.6 อัตราการไหลของไอกิโตรไชโคลนแบบอนุกรมขนาดเส้นผ่านศูนย์กลาง 50 และ 10 มิลลิเมตร ตามลำดับ ที่ติดตั้งกริพอด โดยใช้เวลาในกริพอด 240 นาที

| ความดันจ่ายเข้า (บาร์) | อัตราการไหล (ลูกบาศก์เมตรต่อชั่วโมง) |                    |
|------------------------|--------------------------------------|--------------------|
|                        | จ่ายเข้า                             | ทางออกด้านบน HC 10 |
| 0.5                    | 0.23                                 | 0.23               |
| 1.0                    | 0.30                                 | 0.30               |
| 2.0                    | 0.42                                 | 0.42               |
| 3.0                    | 0.55                                 | 0.55               |

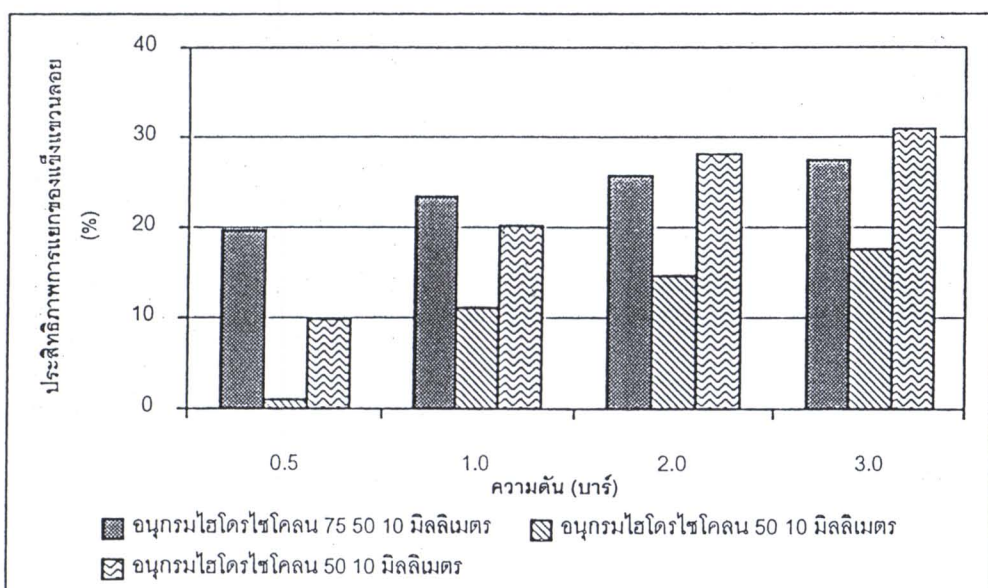
และเมื่อพิจารณาที่ค่าความดันจากตารางที่ 4.7 จะเห็นได้ว่า มีค่าความดันลดเพียงเล็กน้อยเท่านั้น โดยความดันลดดังกล่าวเกิดจากการไหลในไอกิโตรไชโคลนเอง อย่างไรก็ตาม ถึงแม้ว่าความดันลดที่เกิดขึ้นจะมีค่าต่ำ (ทำให้ความดันจ่ายเข้าไอกิโตรไชโคลนมีค่าสูง) ประสิทธิภาพการแยกของแข็งแขวนโดยกัยังคงไม่สูงนัก ทั้งนี้เนื่องจากน้ำดิบที่ใช้ในงานนิรจัยนี้มีอนุภาคที่มีขนาดเล็กอยู่เป็นจำนวนมาก ทำให้ไอกิโตรไชโคลนไม่สามารถแยกของแข็งแขวนโดยออกจากระดับน้ำดิบได้

ตารางที่ 4.7 ความดันลดของการจัดเรียงไอกิโตรไชโคลนแบบอนุกรมขนาดเส้นผ่านศูนย์กลาง 50 และ 10 มิลลิเมตร ตามลำดับ ที่ติดตั้งกริพอด

| ความดันจ่ายเข้า (บาร์) | ความดันก่อนเข้าไอกิโตรไชโคลน 10 มม. (บาร์) |
|------------------------|--|
| 0.5                    | 0.40                                       |
| 1.0                    | 0.90                                       |
| 2.0                    | 1.90                                       |
| 3.0                    | 2.90                                       |

จากที่ได้กล่าวไปแล้วว่า น้ำดิบที่นำมาทำการทดลองนั้นมีความเข้มข้นจ่ายเข้าต่ำมาก และประกอบด้วยอนุภาคขนาดเล็ก ดังนั้นเมื่อผ่านไอกิโตรไชโคลน จึงส่งผลให้มีประสิทธิภาพต่ำมาก เนื่องจากไอกิโตรไชโคลนไม่สามารถแยกอนุภาคที่มีขนาดเล็กจนถึงขนาดคอลลอยด์ได้

เมื่อทำการเปรียบเทียบประสิทธิภาพของแข็งแ่วนลอยที่แยกได้ระหว่างการจัดเรียงไฮโดรไซโคลนแบบอนุกรมที่ติดตั้งกริพอตที่จัดเรียงในแบบต่างๆ คือ ชุดแรกขนาดเส้นผ่านศูนย์กลาง 75 50 และ 10 มิลลิเมตร ชุดที่สอง 75 และ 50 มิลลิเมตร และชุดที่สาม 50 และ 10 มิลลิเมตร ดังแสดงในรูปที่ 4.18 เปรียบเทียบประสิทธิภาพในการแยกของแข็งแ่วนลอยในแต่ละชุดการทดลองที่ติดตั้งกริพอต โดยผลของการทดลองในแต่ละแบบการจัดเรียงที่ติดตั้งกริพอต ที่ใช้เวลาในการกริพอต 30 นาที ที่ความดันต่างๆ มีดังนี้คือ ในการจัดเรียงไฮโดรไซโคลนแบบอนุกรมขนาด 75 50 และ 10 มิลลิเมตร ที่ติดตั้งกริพอต มีประสิทธิภาพในการแยกของแข็งแ่วนลอยสูง โดยมีค่าสูงสุดอยู่ที่ 27.44 เปอร์เซ็นต์ ที่ความดัน 3 บาร์ ส่วนไฮโดรไซโคลนขนาด 75 และ 50 มิลลิเมตร มีประสิทธิภาพไม่สูงนัก มีค่าสูงสุด 17.57 เปอร์เซ็นต์ ที่ความดัน 3 บาร์ เนื่องจากไฮโดรไซโคลนหั้งสองขนาดนี้มีขนาดเส้นผ่านศูนย์กลางขนาดใหญ่เกินไปที่จะแยกน้ำดิบที่มีอนุภาคขนาดเล็ก ส่วนไฮโดรไซโคลนขนาด 50 และ 10 มิลลิเมตร มีประสิทธิภาพในการแยกของแข็งแ่วนลอยสูงที่สุด คือ 30.89 เปอร์เซ็นต์ ที่ความดัน 3 บาร์ ซึ่งดีกว่าการจัดเรียงไฮโดรไซโคลนขนาด 75 50 และ 10 มิลลิเมตร จากผลการทดลองดังกล่าว จะเห็นได้ว่า ไฮโดรไซโคลนแบบอนุกรมขนาด 75 50 และ 10 มิลลิเมตร และไฮโดรไซโคลนแบบอนุกรมขนาด 50 และ 10 มิลลิเมตร มีประสิทธิภาพในการแยกของแข็งแ่วนลอยไม่แตกต่างกันมากนัก แต่ในการนำไปใช้งานจริงการใช้ไฮโดรไซโคลนเพียงสองตัวต่ออนุกรมกัน คือ ไฮโดรไซโคลนแบบอนุกรมขนาดเส้นผ่านศูนย์กลาง 50 และ 10 มิลลิเมตร จะเหมาะสมกว่า เนื่องจากสามารถลดค่าใช้จ่ายและลดขั้นตอนในการติดตั้งได้อีกด้วย



รูปที่ 4.18 เปรียบเทียบประสิทธิภาพในการแยกของแข็งแ่วนลอย  
ในทุกการจัดเรียงที่ติดตั้งกริพอต

โดยภาพรวมໄไอໂໂຣໄໃໂຄລນແບບອນຸກຮມທີ່ຕິດຕັ້ງກົງພອດມີປະສິທິກາພໃນກາຮແຍກຂອງເຂົ້າແຂວນລອຍດຳ (ປະມານ 30%) ແຕ່ກົງຍັງມີຂໍອົດຕືອ ສາມາດແຍກຂອງເຂົ້າແຂວນລອຍອອກໂດຍໃຫ້ຄວາມເຂັ້ມຂັ້ນທີ່ສະສົມໃນກົງພອດສູງມາກ ດັ່ງນັ້ນສໍາຫຼັບກະບວນກາຮຜລິຕິນໍ້ປະປາ ກາຮທີ່ຂອງເຂົ້າແຂວນລອຍຖຸກແຍກອອກໄດ້ໃນຂັ້ນຕົ້ນຈະສາມາດລົດກາຮໃໝ່ສາງເຄມີ (ສາງສົ່ມ) ລົງໄດ້ ທັ້ງນີ້ຈະແສດງໃໝ່ເຫັນໃນໜ້າຂ້ອດຕ່ອໄປ

ນອກຈາກນີ້ດ້ວຍສາເຫດຖີ່ຂາດອນຸກາຄໃນນໍາດີບມີຂາດເລັກ ດັ່ງນັ້ນຈຶ່ງທຳໄໝປະສິທິກາພກາຮແຍກຂອງເຂົ້າແຂວນລອຍດຳ ແຕ່ທາກໃນບາງໜ່ວງເວລາທີ່ນໍາດີບມີຄວາມຊຸ່ນສູງຂຶ້ນ ຈຶ່ງກີ່ອນໍາດີບນ່າຈະມີຂາດອນຸກາຄໃໝ່ຢືນດ້ວຍ (ເຊັ່ນ ຜ່າງຝັນຕົກ ຖຸດູນໍ້າຫລາກ ເປັນຕົ້ນ) ຈະທຳໄໝໄไอໂໂຣໄໃໂຄລນແບບອນຸກຮມທີ່ຕິດຕັ້ງກົງພອດມີປະສິທິກາພກາຮແຍກຂອງເຂົ້າແຂວນລອຍມາກເຂົ້ນ ນອກຈາກນີ້ກາຮດໍາເນີນກາຮຂອງຮະບັນນີ້ມີຈຳເປັນຕົ້ນຮັບກາຮໃໝ່ແບບຕ່ອນໍອງ ຈຶ່ງສາມາດເລືອກເດີນຮະບັນນຳບັດນໍ້າຂັ້ນຕົ້ນເປັນໜ່ວງເວລາໄດ້ ໂດຍເພາະເວລາທີ່ນໍາມີຄວາມຊຸ່ນສູງໆ

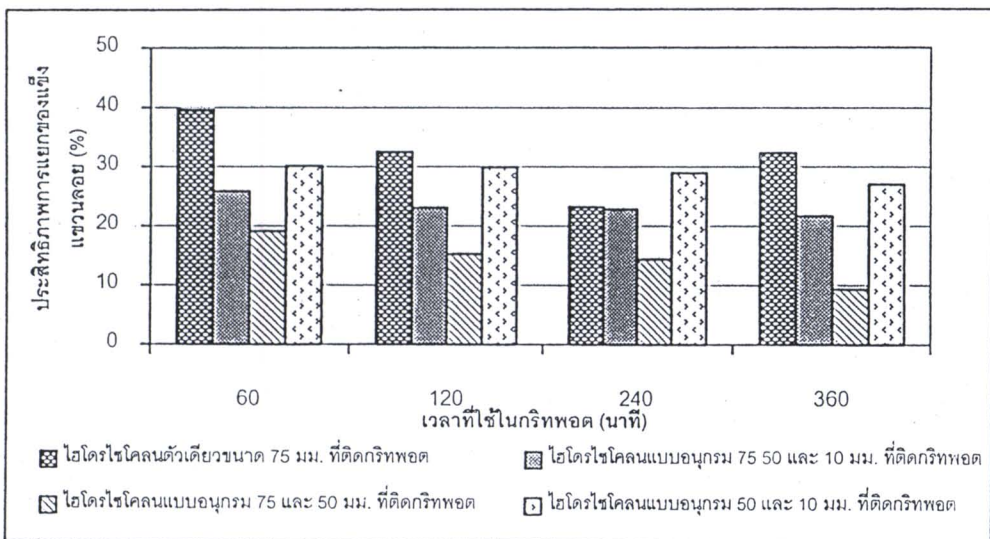
ດັ່ງທີ່ໄດ້ກ່າວໄປແລ້ວໃນໜ້າຂ້ອດຕ່ອໄປ 4.2.1 ໃນກາຮຈັດເຮັງແບບອນຸກຮມຈາກໄไอໂໂຣໄໃໂຄລນຂາດໃໝ່ (ໄไอໂໂຣໄໃໂຄລນຂາດເລັກສູນຍົກລາງ 75 ແລະ 50 ມິລືລິເມຕຣ) ໄປສູ້ໄไอໂໂຣໄໃໂຄລນຂາດເລັກ (ໄไอໂໂຣໄໃໂຄລນຂາດເລັກສູນຍົກລາງ 10 ມິລືລິເມຕຣ) ເນື່ອຈາກໃນໄไอໂໂຣໄໃໂຄລນຂາດເລັກສູນຍົກລາງ 10 ມິລືລິເມຕຣ ເປັນໄไอໂໂຣໄໃໂຄລນທີ່ມີຂາດເລັກ ຈຶ່ງທຳກາຮຈັດເຮັງແບບອນຸກຮມເຊັ່ນນີ້ເພື່ອປ້ອງກັນກາຮອຸດຕົນທີ່ອາຈຈະເກີດເຂົ້ນໄກຍໃນໄไอໂໂຣໄໃໂຄລນຂາດເລັກ ທຳໄໝກາຮທດລອງດໍາເນີນໄປໄດ້ໂດຍໄນ່ເກີດກາຮອຸດຕົນ ສິ້ງຈະກ່າວດ່ອໄປໃນເຮືອງຂອງຂາດອນຸກາຄໃນໜ້າຂ້ອດຕ່ອໄປ

#### 4.3 ກາຮເປົ້າຍເຫັນປະສິທິກາພໃນກາຮແຍກຂອງເຂົ້າແຂວນລອຍຮະຫວ່າງໄไอໂໂຣໄໃໂຄລນແບບອນຸກຮມທີ່ຕິດຕັ້ງກົງພອດກັບໄไอໂໂຣໄໃໂຄລນຕົວເດີຍວທີ່ຕິດຕັ້ງກົງພອດ

##### 4.3.1 ກາຮເປົ້າຍເຫັນປະສິທິກາພໃນກາຮແຍກຂອງເຂົ້າແຂວນລອຍຮະຫວ່າງໄไอໂໂຣໄໃໂຄລນແບບອນຸກຮມທີ່ຕິດຕັ້ງກົງພອດກັບໄไอໂໂຣໄໃໂຄລນຕົວເດີຍວຂາດເສັ້ນຜ່ານສູນຍົກລາງ 75 ມິລືລິເມຕຣ ທີ່ຕິດຕັ້ງກົງພອດ ຈາກຂໍອມູນກາຮວິເຄາະໜີຜລກາຮທດລອງຂອງອ້ອັກີພຍ ຈີ່ພຣະຍ (2551) ສາມາດແສດງດັ່ງກູປີ 4.19 ສິ້ງແສດງໃຫ້ເຫັນວ່າ ໄไอໂໂຣໄໃໂຄລນຕົວເດີຍວຂາດເສັ້ນຜ່ານສູນຍົກລາງ 75 ມິລືລິເມຕຣ ກັບກາຮຈັດເຮັງໄไอໂໂຣໄໃໂຄລນແບບອນຸກຮມຂາດເສັ້ນຜ່ານສູນຍົກລາງ 50 ແລະ 10 ມິລືລິເມຕຣ ມີປະສິທິກາພໄກລໍເຄີຍກັນ ໂດຍຈາກກາຮທດລອງໃນໜ້າຂ້ອດຕ່ອໄປ 4.7 ທີ່ເກີ່ວກັບຂາດອນຸກາຄພບວ່າ ໄไอໂໂຣໄໃໂຄລນຂາດເສັ້ນຜ່ານສູນຍົກລາງ 75 ແລະ 50 ມິລືລິເມຕຣ ຊ່ວຍແຍກເຂາຕະກອນຂອງເຂົ້າ

ຈາກກາຮເປົ້າຍເຫັນປະສິທິກາພໃນກາຮແຍກຂອງເຂົ້າແຂວນລອຍຮະຫວ່າງໄไอໂໂຣໄໃໂຄລນແບບອນຸກຮມທີ່ຕິດຕັ້ງກົງພອດກັບໄไอໂໂຣໄໃໂຄລນຕົວເດີຍວຂາດເສັ້ນຜ່ານສູນຍົກລາງ 75 ມິລືລິເມຕຣ ທີ່ຕິດຕັ້ງກົງພອດ ຈາກຂໍອມູນກາຮວິເຄາະໜີຜລກາຮທດລອງຂອງອ້ອັກີພຍ ຈີ່ພຣະຍ (2551) ສາມາດແສດງດັ່ງກູປີ 4.19 ສິ້ງແສດງໃຫ້ເຫັນວ່າ ໄไอໂໂຣໄໃໂຄລນຕົວເດີຍວຂາດເສັ້ນຜ່ານສູນຍົກລາງ 75 ມິລືລິເມຕຣ ກັບກາຮຈັດເຮັງໄไอໂໂຣໄໃໂຄລນແບບອນຸກຮມຂາດເສັ້ນຜ່ານສູນຍົກລາງ 50 ແລະ 10 ມິລືລິເມຕຣ ມີປະສິທິກາພໄກລໍເຄີຍກັນ ໂດຍຈາກກາຮທດລອງໃນໜ້າຂ້ອດຕ່ອໄປ 4.7 ທີ່ເກີ່ວກັບຂາດອນຸກາຄພບວ່າ ໄไอໂໂຣໄໃໂຄລນຂາດເສັ້ນຜ່ານສູນຍົກລາງ 75 ແລະ 50 ມິລືລິເມຕຣ ຊ່ວຍແຍກເຂາຕະກອນຂອງເຂົ້າ

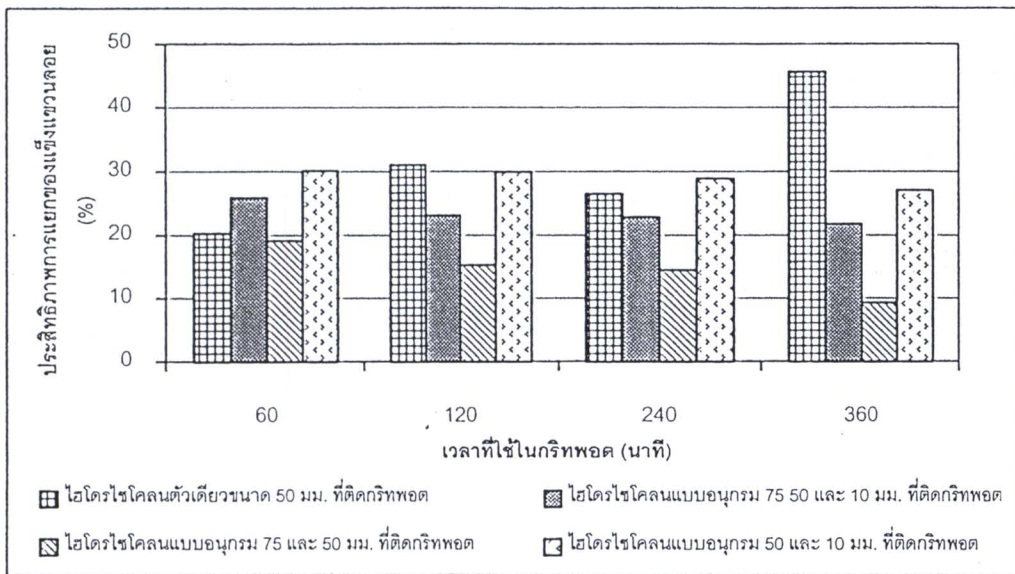
แข็งแกร่งของน้ำที่ใหญ่ออกไปได้หมด ส่งผลให้สามารถป้องกันการเกิดการอุดตันที่จะเกิดขึ้นในไฮโดรไซโคลนขนาดเส้นผ่านศูนย์กลาง 10 มิลลิเมตรได้



รูปที่ 4.19 เปรียบเทียบประสิทธิภาพในการแยกของแข็งแขวนลอยระหว่างไฮโดรไซโคลนแบบอนุกรมที่ติดตั้งกริพอตกับไฮโดรไซโคลนตัวเดียวขนาดเส้นผ่านศูนย์กลาง 75 มิลลิเมตร ที่ติดตั้งกริพอต

#### 4.3.2 การเปรียบเทียบประสิทธิภาพในการแยกของแข็งแขวนลอยระหว่างไฮโดรไซโคลนแบบอนุกรมที่ติดตั้งกริพอตกับไฮโดรไซโคลนตัวเดียวขนาดเส้นผ่านศูนย์กลาง 50 มิลลิเมตร ที่ติดตั้งกริพอต

จากการเปรียบเทียบประสิทธิภาพในการแยกของแข็งแขวนลอยระหว่างไฮโดรไซโคลนแบบอนุกรมที่ติดตั้งกริพอตกับไฮโดรไซโคลนตัวเดียวขนาดเส้นผ่านศูนย์กลาง 50 มิลลิเมตร ที่ติดตั้งกริพอต จากข้อมูลการวิเคราะห์ผลการทดลองของ อ้อทิพย์ จีพรัชัย (2551) สามารถแสดงดังรูปที่ 4.20 ซึ่งแสดงให้เห็นว่า ไฮโดรไซโคลนตัวเดียวขนาดเส้นผ่านศูนย์กลาง 50 มิลลิเมตร กับการจัดเรียงไฮโดรไซโคลนแบบอนุกรมขนาดเส้นผ่านศูนย์กลาง 50 และ 10 มิลลิเมตร มีประสิทธิภาพใกล้เคียงกัน โดยจากการทดลองในหัวข้อที่ 4.7 ที่เกี่ยวกับขนาดอนุภาคน้ำที่ใหญ่กว่า ไฮโดรไซโคลนขนาดเส้นผ่านศูนย์กลาง 75 และ 50 มิลลิเมตร ช่วยแยกเอาตะกอนของแข็งแขวนลอยขนาดใหญ่ออกไปได้หมด ส่งผลให้สามารถป้องกันการเกิดการอุดตันที่จะเกิดขึ้นในไฮโดรไซโคลนขนาดขนาดเส้นผ่านศูนย์กลาง 10 มิลลิเมตรได้



รูปที่ 4.20 เปรียบเทียบปริมาณของเศษเหล็กที่แยกของไอก็อร์ไซคอลนแบบอนุกรมที่ติดตั้งกริฟพอตกับไอก็อร์ไซคอลนตัวเดียวขนาดเส้นผ่านศูนย์กลาง 50 มิลลิเมตร ที่ติดตั้งกริฟพอต

เนื่องจากน้ำดิบที่ใช้ในงานวิจัยนี้มีความเข้มข้นต่ำและมีอนุภาคขนาดเล็ก จึงทำให้สังเกตเห็นประสิทธิภาพของไอก็อร์ไซคอลนแบบอนุกรมเมื่อเทียบกับไอก็อร์ไซคอลนตัวเดียวได้ไม่ชัดเจน ดังนั้นถ้าความเข้มข้นของเศษเหล็กอยู่ที่จ่ายเข้ามีค่าสูงขึ้น เช่น ในถุงน้ำหลาก น่าจะทำให้มีอนุภาคขนาดใหญ่ขึ้น ซึ่งจะส่งผลให้ประสิทธิภาพของไอก็อร์ไซคอลนแบบอนุกรมดีขึ้นและดีกว่าไอก็อร์ไซคอลนแบบตัวเดียว เนื่องจากไอก็อร์ไซคอลนขนาด 10 มิลลิเมตร ซึ่งมีประสิทธิภาพสูงสามารถทำงานได้มากขึ้น

#### 4.4 มวลของเศษเหล็กที่แยกได้จากการจัดเรียงไอก็อร์ไซคอลนแบบอนุกรมที่ติดตั้งกริฟพอต

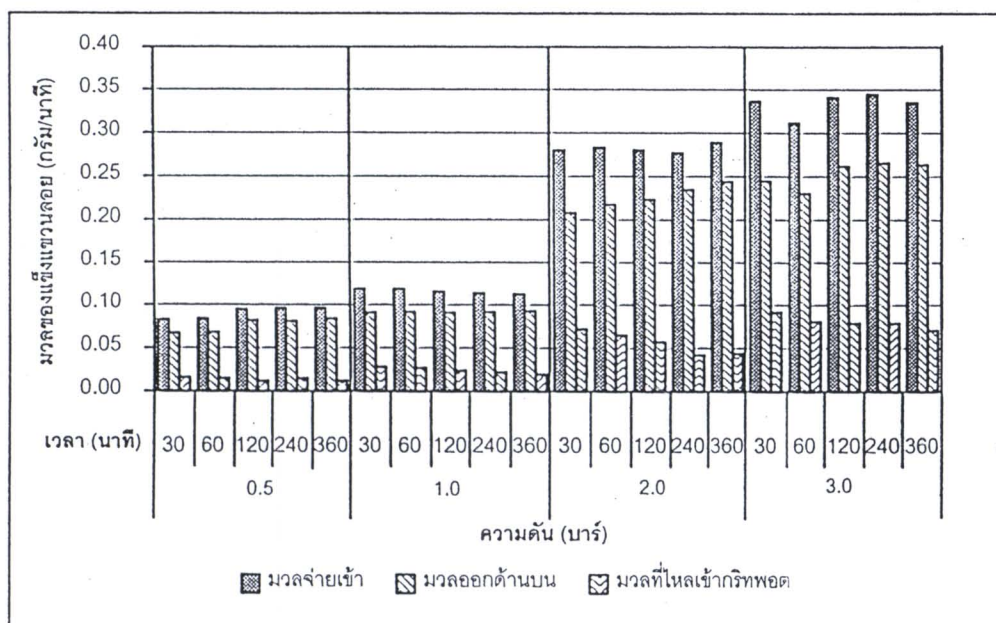
ในหัวข้อการคำนวณมวลของเศษเหล็กที่แยกได้นั้น จะไม่ขอกล่าวถึงการจัดเรียงไอก็อร์ไซคอลนแบบอนุกรมที่ไม่ได้ติดตั้งกริฟพอต เนื่องจากมีอัตราไหลที่ทางออกด้านบนต่ำและอัตราไหลรวมที่ทางออกด้านล่างสูงมาก จนไม่เหมาะสมที่จะนำไปใช้งานได้จริง ดังที่ได้กล่าวไปแล้วในหัวข้อที่ 4.1.2

การคำนวณมวลที่แยกได้จากไอก็อร์ไซคอลนแบบอนุกรมที่ติดตั้งกริฟพอต สามารถหาได้จากการนำผลการทดลองที่วิเคราะห์หาความเข้มข้นของเศษเหล็กอยามคำนวณให้อยู่ในรูปของมวล โดยการทำสมดุลมวลของทางเข้าและออกของไอก็อร์ไซคอลนทั้ง 3 เส้นทางการไหลของระบบ ได้แก่ จ่ายเข้า (Feed) ทางออกด้านบน (Overflow) และทางออกด้านล่าง (Underflow) มวลที่จ่าย

เข้าและมวลที่แยกออกทางด้านบน สามารถคำนวณได้จากผลคูณของอัตราการไหลกับความเข้มข้น แต่การคำนวณมวลที่สะสมในกริพอต สามารถคำนวณได้จากมวลที่จ่ายเข้าลบกับมวลที่แยกออกทางด้านบนของไฮโดรไซโคลนที่ติดตั้งกริพอต เนื่องจากในการเก็บน้ำด้วยตัวอย่างจากกริพอตนั้นอาจมีของแข็งแขวนลอยที่ค้างอยู่ในไฮโดรไซโคลนผสมมาด้วย จึงทำให้ผลที่ได้ไม่น่าเชื่อถือนัก ดังนั้นในงานวิจัยนี้จึงใช้การคำนวณมวลจากสมดุลมวลมาคำนวณมวลของแข็งแขวนลอยที่สะสมในกริพอตแทนการคำนวณมวลที่สะสมในกริพอตจริงๆ ผลการคำนวณที่ได้จะอยู่ในรูปของหน่วยน้ำหนักต่อเวลา (ตัวอย่างรายการคำนวณแสดงในภาคผนวก ค)

#### 4.4.1 การจัดเรียงไฮโดรไซโคลนแบบอนุกรมขนาดเส้นผ่านศูนย์กลาง 75 50 และ 10 มิลลิเมตร ที่ติดตั้งกริพอต

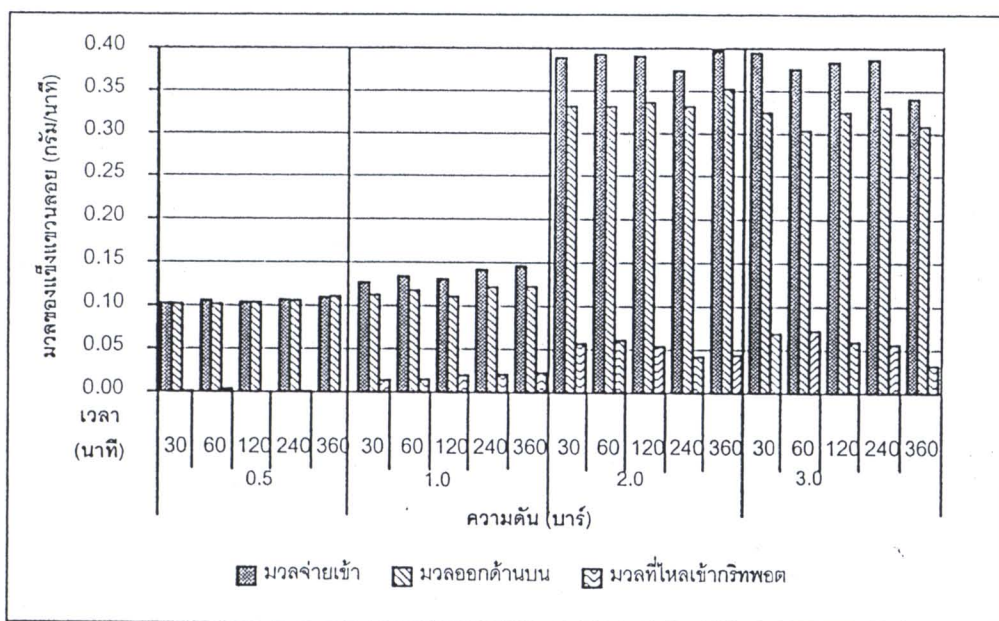
การจัดเรียงไฮโดรไซโคลนแบบอนุกรมขนาดเส้นผ่านศูนย์กลาง 75 50 และ 10 มิลลิเมตร ที่ติดตั้งกริพอต ที่ความดัน 0.5 1 2 และ 3 บาร์ เวลาที่ใช้ในกริพอต 30 60 120 240 และ 360 นาที ดังแสดงในรูปที่ 4.21 (รายละเอียดการคำนวณแสดงในภาคผนวก ค) พบว่า มวลของแข็งแขวนลอยจ่ายเข้ามีค่าเฉลี่ย 0.206 กรัมต่อนาที และมวลของแข็งแขวนลอยที่ทางออกด้านบนมีค่าอยู่ระหว่าง 0.067 - 0.264 กรัมต่อนาที และมวลของแข็งแขวนลอยที่สะสมในกริพอตมีค่าอยู่ระหว่าง 0.012 – 0.092 กรัมต่อนาที



รูปที่ 4.21 มวลของแข็งแขวนลอยที่แยกได้จากการจัดเรียงไฮโดรไซโคลนแบบอนุกรมขนาดเส้นผ่านศูนย์กลาง 75 50 และ 10 มิลลิเมตร ที่ติดตั้งกริพอต

#### 4.4.2 การจัดเรียงไฮโดรไซโคลนแบบอนุกรมขนาดเส้นผ่านศูนย์กลาง 75 และ 50 มิลลิเมตร ที่ติดตั้งกริพอต

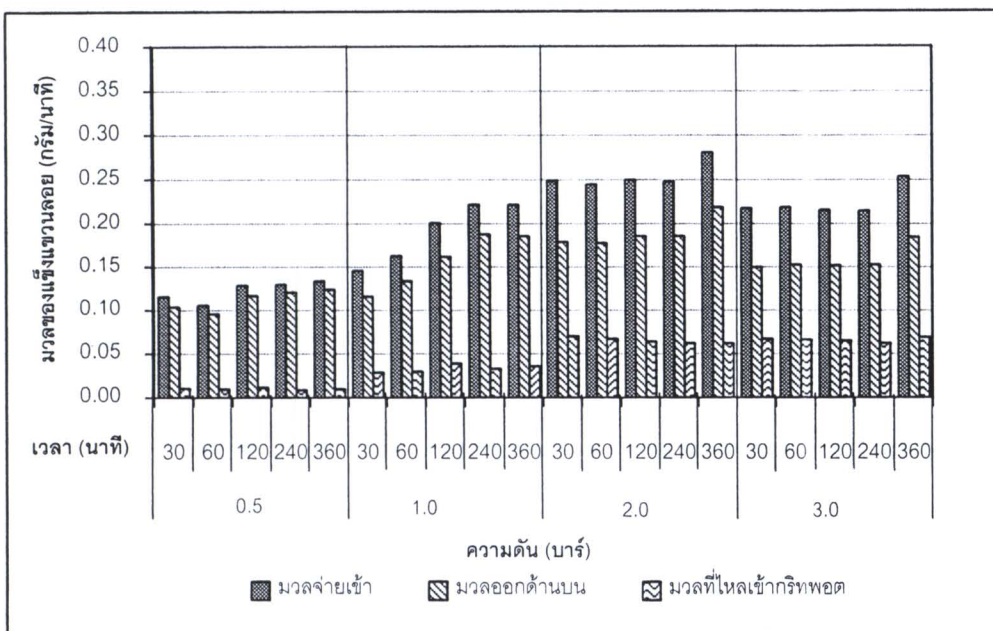
การจัดเรียงไฮโดรไซโคลนแบบอนุกรมขนาดเส้นผ่านศูนย์กลาง 75 และ 50 มิลลิเมตร ที่ติดตั้งกริพอต ที่ความดัน 0.5 1 2 และ 3 บาร์ เวลาที่ใช้ในกริพอต 30 60 120 240 และ 360 นาที ดังแสดงในรูปที่ 4.22 (รายละเอียดการคำนวณแสดงในภาคผนวก ค) พบว่า มวลของแข็งและลอดอย่างเข้ามีค่าเฉลี่ย 0.252 กรัมต่อนาที และมวลของแข็งและลอดอย่างที่ทางออกด้านบนมีค่าอยู่ระหว่าง 0.102 - 0.353 กรัมต่อนาที และมวลของแข็งและลอดอย่างที่สะสมในกริพอตมีค่าอยู่ระหว่าง 0 – 0.072 กรัมต่อนาที



รูปที่ 4.22 มวลของแข็งและลอดอย่างที่แยกได้จากการจัดเรียงไฮโดรไซโคลนแบบอนุกรมขนาดเส้นผ่านศูนย์กลาง 75 และ 50 มิลลิเมตร ที่ติดตั้งกริพอต

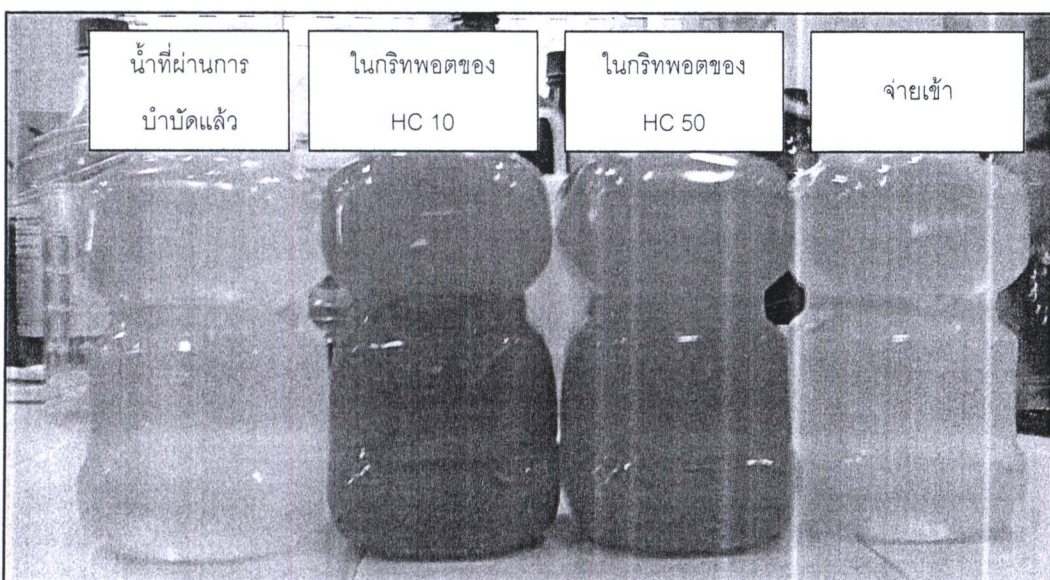
#### 4.4.3 การจัดเรียงไฮโดรไซโคลนแบบอนุกรมขนาดเส้นผ่านศูนย์กลาง 50 และ 10 มิลลิเมตร ที่ติดตั้งกริพอต

การจัดเรียงไฮโดรไซโคลนแบบอนุกรมขนาดเส้นผ่านศูนย์กลาง 50 และ 10 มิลลิเมตร ที่ติดตั้งกริพอต ที่ความดัน 0.5 1 2 และ 3 บาร์ เวลาที่ใช้ในกริพอต 30 60 120 240 และ 360 นาที ดังแสดงในรูปที่ 4.23 (รายละเอียดการคำนวณแสดงในภาคผนวก ค) พบว่า มวลของแข็งและลอดอย่างเข้ามีค่าเฉลี่ย 0.198 กรัมต่อนาที และมวลของแข็งและลอดอย่างที่ทางออกด้านบนมีค่าอยู่ระหว่าง 0.096 - 0.219 กรัมต่อนาที และมวลของแข็งและลอดอย่างที่สะสมในกริพอตมีค่าอยู่ระหว่าง 0.009 - 0.069 กรัมต่อนาที



รูปที่ 4.23 มวลของเข็งแขวนลอยที่แยกได้จากการจัดเรียงไฮโดรไซโคลนแบบอนุกรมขนาดเส้นผ่านศูนย์กลาง 50 และ 10 มิลลิเมตร ที่ติดตั้งกริพอต

จากการคำนวณจะเห็นได้ว่า มวลของเข็งแขวนลอยที่สะสมตัวอยู่ในกริพอตมีปริมาณน้อยกว่ามวลที่แยกออกทางด้านบน เต็มจากการทดลองจะสังเกตได้ว่าตัวอย่างน้ำที่ได้จากการทดลองด้วยไฮโดรไซโคลนแบบอนุกรมที่ติดตั้งกริพอตทั้ง 3 แบบ มีความเข้มข้นมากกว่าน้ำจ่ายเข้าและที่ทางออกด้านบน ดังแสดงในรูปที่ 4.24



รูปที่ 4.24 ลักษณะของตัวอย่างน้ำทั้ง 3 ช่องการไหลที่ได้จากการทดลองด้วยไฮโดรไซโคลนแบบอนุกรมขนาดเส้นผ่านศูนย์กลาง 50 และ 10 มิลลิเมตร ที่ติดตั้งกริพอต

เมื่อเปรียบเทียบมวลของแข็งแหวนloyที่แยกได้ที่ทางออกด้านบน พบว่ามีค่ามากกว่ามวลที่สะสมในกริพอดในทุกการจัดเรียงแบบอนุกรม เนื่องจากของแข็งแหวนloyมีขนาดเล็กและมีน้ำหนักเบา จึงไม่สามารถตัดตะกอนได้ด้วยแรงโน้มถ่วงและแรงเหวี่ยงหนึ่งศูนย์กลางของไฮโดรไฮโคลน ดังแสดงในตารางที่ 4.8

ตารางที่ 4.8 เปรียบเทียบมวลของแข็งแหวนloyที่แยกได้ของการจัดเรียงไฮโดรไฮโคลนแบบอนุกรมที่ติดตั้งกริพอด ในทุกการจัดเรียงแบบอนุกรม ที่ความดัน 3 บาร์ ที่เวลา 240 นาที

| ไฮโดรไฮโคลน<br>แบบอนุกรม<br>(มม.) | มวลของแข็งแหวนloyที่แยกได้ (กรัม/นาที) |           |              |   |
|-----------------------------------|--|-----------|--------------|---|
|                                   | จ่ายเข้า                               | ออกด้านบน | สะสมในกริพอด | ประสิทธิภาพในการ<br>แยกของแข็ง<br>แหวนloy |
| 75 50 10                          | 0.345                                  | 0.266     | 0.079        | 22.90                                     |
| 75 50                             | 0.387                                  | 0.331     | 0.056        | 14.46                                     |
| 50 10                             | 0.215                                  | 0.153     | 0.062        | 28.97                                     |

#### 4.4.4 เปรียบเทียบมวลของแข็งแหวนloyที่ถูกแยกออกจากทางด้านล่างระหว่างการจัดเรียงไฮโดรไฮโคลนแบบอนุกรมที่ติดตั้งกริพอด

เมื่อเปรียบเทียบมวลของแข็งแหวนloyของการจัดเรียงไฮโดรไฮโคลนแบบอนุกรมทุกการจัดเรียงที่ติดตั้งกริพอด ใช้เวลาในกริพอด 240 นาที ที่ความดัน 3 บาร์ ดังตารางที่ 4.8 พบว่า ในการจัดเรียงไฮโดรไฮโคลนแบบอนุกรมขนาดเส้นผ่านศูนย์กลาง 75 50 และ 10 มิลลิเมตร สามารถแยกมวลของแข็งแหวนloyได้มากที่สุดเมื่อเทียบกันในแต่ละชุดของการจัดเรียงแบบอนุกรม ส่วนการจัดเรียงอนุกรมแบบ 75 และ 50 มิลลิเมตร และการจัดเรียงอนุกรมแบบ 50 และ 10 มิลลิเมตร จะมีแนวโน้มในการแยกมวลของแข็งแหวนloy เช่นเดียวกับไฮโดรไฮโคลนเส้นผ่านศูนย์กลาง 75 50 และ 10 มิลลิเมตร คือเมื่อเพิ่มความดันจ่ายเข้า จะทำให้สามารถแยกมวลของแข็งแหวนloyได้มากขึ้น ซึ่งเป็นไปตามกฎของสโตค (Stokes's law equation) (Metcalf และ Eddy, 2003)

จากการที่ 4.8 จะเห็นว่าไฮโดรไฮโคลนแบบอนุกรมขนาดเส้นผ่านศูนย์กลาง 75 50 และ 10 มิลลิเมตร และไฮโดรไฮโคลนแบบอนุกรมขนาดเส้นผ่านศูนย์กลาง 50 และ 10 มิลลิเมตร มีค่าไกล์เคียงกัน แต่เมื่อคำนึงถึงเรื่องประสิทธิภาพการแยกของแข็งแหวนloy และจำนวนไฮโดรไฮโคลนที่ทำการจัดเรียงแล้ว พบว่าไฮโคลนแบบอนุกรมขนาดเส้นผ่านศูนย์กลาง 50 และ 10 มิลลิเมตร เป็นการจัดเรียงไฮโดรไฮโคลนแบบอนุกรมเพียงสองตัวเท่านั้น ทำให้ประหยัดพื้นที่ในการติดตั้ง ลดขั้นตอนในการติดตั้ง และลดค่าใช้จ่ายในการบำรุงรักษาอีกด้วย ดังนั้นไฮโดรไฮโคลน

แบบอนุกรมที่ติดตั้งกริพอตสามารถแยกของแข็งแขวนลอยออกได้ในระดับหนึ่ง สามารถนำมาใช้เป็นหน่วยนำบัดขันตันก่อนเข้าสู่ระบบผลิตน้ำประปาได้ ซึ่งสอดคล้องกับวัตถุประสงค์ของงานวิจัยนี้

#### 4.5 พารามิเตอร์ที่มีผลต่อประสิทธิภาพในการแยกของแข็งแขวนลอยของการจัดเรียงไอกอโรไซโคลนแบบอนุกรมที่ติดตั้งกริพอต

พารามิเตอร์ต่างๆ ที่มีผลต่อประสิทธิภาพในการแยกของแข็งแขวนลอยของไอกอโรไซโคลนในงานวิจัยนี้ ได้แก่ ความดันจ่ายเข้า ขนาดเส้นผ่านศูนย์กลางของไอกอโรไซโคลน ขนาดเส้นผ่านศูนย์กลางทางออกด้านล่างของไอกอโรไซโคลน และเวลาที่ใช้ในกริพอต

##### 4.5.1 ความดันจ่ายเข้า

จากการทดลองที่ได้จากการจัดเรียงไอกอโรไซโคลนแบบอนุกรมขนาดเส้นผ่านศูนย์กลาง 75 มิลลิเมตร 50 มิลลิเมตร และ 10 มิลลิเมตร ซึ่งทดลองแปรเปลี่ยนความดันเพื่อปรับอัตราการไหล โดยควบคุมความดัน 4 ค่า คือ 0.5 1 2 และ 3 บาร์ สำหรับการจัดเรียงไอกอโรไซโคลนแบบอนุกรมทั้ง 3 ชุดการทดลอง คือ ชุดแรก ไอกอโรไซโคลนขนาดเส้นผ่านศูนย์กลาง 75 50 และ 10 มิลลิเมตร ชุดที่สอง ไอกอโรไซโคลนขนาดเส้นผ่านศูนย์กลาง 75 และ 50 มิลลิเมตร และชุดที่สาม ไอกอโรไซโคลนขนาดเส้นผ่านศูนย์กลาง 50 และ 10 มิลลิเมตร ซึ่งการดำเนินการทดลองแบ่งออกเป็นสองส่วน คือ การทดลองด้วยการจัดเรียงไอกอโรไซโคลนแบบอนุกรมที่ไม่ได้ติดตั้งกริพอต และที่ติดตั้งกริพอตที่ทางออกด้านล่าง พบว่า การเพิ่มความดันจ่ายเข้าไอกอโรไซโคลนทำให้อัตราการไหลเข้าไอกอโรไซโคลนมีค่าเพิ่มขึ้น ทำให้ความเร็วตามแนวสัมผัสเส้นรอบวง ( $V_y$ ) มีค่าสูงขึ้น สามารถอธิบายได้จากสมการที่ 2.4 ( $V_y = \alpha \frac{\rho}{A_i}$ ) ซึ่งแสดงความสัมพันธ์ระหว่างความเร่งหนึ่นศูนย์กลางภายในไอกอโรไซโคลนให้แรงเหวี่ยงหนึ่นศูนย์กลางภายในไอกอโรไซโคลนหรือความเร่งหนึ่นศูนย์กลาง ( $\zeta$ ) มีค่าเพิ่มขึ้นเช่นกัน ดังอธิบายได้จากสมการที่ 2.10 ( $\zeta = \frac{V^2}{R \cdot g}$ ) ซึ่งแสดงความสัมพันธ์ระหว่างความเร่งหนึ่นศูนย์กลางภายในไอกอโรไซโคลนกับความเร็วตามแนวสัมผัสเส้นรอบวง และเนื่องจากความเร่งหนึ่นศูนย์กลางภายในไอกอโรไซโคลนจะมีค่ามากกว่าความเร่งเนื่องจากแรงโน้มถ่วงของโลกมาก ดังนั้นความเร็วในการทดลองของไอกอโรไซโคลน ( $V_p$ ) จากสมการกฎของสโตค (Stokes's law equation) (Metcalf และ Eddy, 2003) สามารถแสดงได้ดังนี้

$$V_p = \frac{\Delta \rho \cdot d_p^2 \cdot \zeta}{18\mu} \quad (2.11)$$

จะเห็นได้ว่า เมื่อความเร่งหนีศูนย์กลางภายในไอโอดร่าไซโคลนเพิ่มมากขึ้น ส่งผลให้อุกาสในการแยกของแข็งแขวนลอยของไอโอดร่าไซโคลนมีมากขึ้น

ดังนั้น เมื่อความดันจ่ายเข้าไอก็อกลนเพิ่มขึ้น ทำให้แรงเหวี่ยงหนีศูนย์กลางภายในไอก็อกลนสูงขึ้น ส่งผลให้ความเร็วและประสิทธิภาพในการแยกของแข็งแขวนลอยของไอก็อกลนเพิ่มขึ้นด้วยเช่นกัน รวมไปถึงความเข้มข้นของแข็งแขวนลอยที่แยกออกจากด้านล่างสำหรับไอก็อกลนแบบที่ไม่ได้ติดตั้งกริพอต ความเข้มข้นของแข็งแขวนลอยและมวลที่สะสมอยู่ในกริพอตสำหรับไอก็อกลนที่ติดตั้งกริพอตจึงเพิ่มตามไปด้วย ดังผลการทดลองในหัวข้อที่ 4.1 ถึง 4.4

#### 4.5.2 ขนาดเส้นผ่านศูนย์กลางของไอก็อกลน

จากการทดลอง พบร่วมกับการจัดเรียงไอก็อกลนแบบอนุกรมจากไอก็อกลนขนาดใหญ่ (ไอก็อกลนขนาดเส้นผ่านศูนย์กลาง 75 และ 50 มิลลิเมตร) ไปสู่ไอก็อกลนขนาดเล็ก (ไอก็อกลนขนาดเส้นผ่านศูนย์กลาง 10 มิลลิเมตร) สามารถป้องกันการเกิดการอุดตันที่จะเกิดขึ้นในไอก็อกลนขนาดเล็กได้ ทำให้การทดลองดำเนินไปได้โดยไม่เกิดการอุดตัน โดยจะเห็นผลขัดขืนเมื่อผลการทดลองในหัวข้อที่ 4.7 ที่เกี่ยวกับขนาดอนุภาคนี้

นอกจากนี้ จากผลการทดลองความเข้มข้นของแข็งแขวนลอยที่สะสมในกริพอตของการจัดเรียงไอก็อกลนแบบอนุกรมขนาดเส้นผ่านศูนย์กลาง 75 50 และ 10 มิลลิเมตร ที่ติดตั้งกริพอต ดังแสดงในรูปที่ 4.8 เมื่อเปรียบเทียบความเข้มข้นของแข็งแขวนลอยที่สะสมในกริพอตของไอก็อกลนแต่ละตัว พบร่วมกับไอก็อกลนขนาดเส้นผ่านศูนย์กลาง 50 มิลลิเมตร มีความเข้มข้นสูงกว่าไอก็อกลนขนาดเส้นผ่านศูนย์กลาง 75 มิลลิเมตร และไอก็อกลนขนาดเส้นผ่านศูนย์กลาง 10 มิลลิเมตร มีความเข้มข้นสูงกว่าไอก็อกลนขนาดเส้นผ่านศูนย์กลาง 50 มิลลิเมตร ซึ่งสอดคล้องกับทฤษฎีของ Helmholtz's law (Puprasert, 2004) ที่แสดงถึงการหมุนวนของของไหล เมื่อมีการสูญเสียโมเมนตัมเชิงมุม ดังสมการที่ 2.6

$$V_y \times R'' = \text{ค่าคงที่} \quad (2.6)$$

เมื่อ ท มีค่าระหว่าง 0.5-0.9 (Kelsall, 1952 อ้างถึงใน Svarovsky, 1984)

จากสมการที่ 2.6 แสดงถึงการหมุนวนภายนอก (Outer Vortex) ในทิศทางลงตามแนวสัมผัสเส้นรอบวง นั่นคือ เมื่อเส้นผ่านศูนย์กลางของไอก็อกลนลดลง ความเร็วตามแนวสัมผัสเส้นรอบวงเพิ่มขึ้น

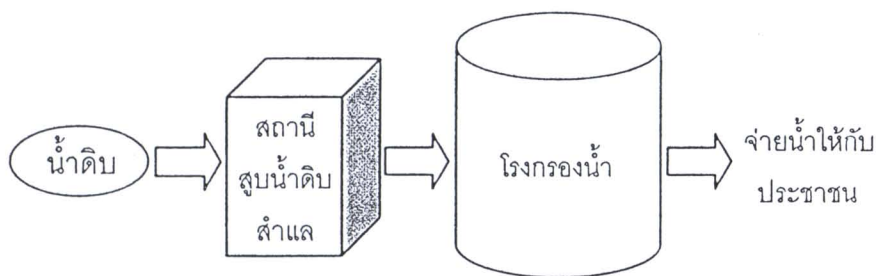
กล่าวคือ เมื่อลดขนาดเส้นผ่านศูนย์ของไฮโดรไทโคลนลง ทำให้ความเร็วลัพธ์ของอนุภาคในไฮโดรไทโคลนมีค่าเพิ่มขึ้น เป็นผลให้แรงเหวี่ยงหนีศูนย์กลางภายในไฮโดรไทโคลนเพิ่มขึ้น ทำให้อนุภาคของแข็งแหวนลอยในไฮโดรไทโคลนถูกเหวี่ยงปะทะกับผนังของไฮโดรไทโคลน ทำให้ออนุภาคขนาดใหญ่ในลอดอกสู่ทางด้านล่างได้มากขึ้น ส่งผลให้ประสิทธิภาพในการแยกของแข็งแหวนลดอย่างเพิ่มขึ้นเช่นกัน

#### 4.5.3 เวลาที่ใช้ในกริพอต

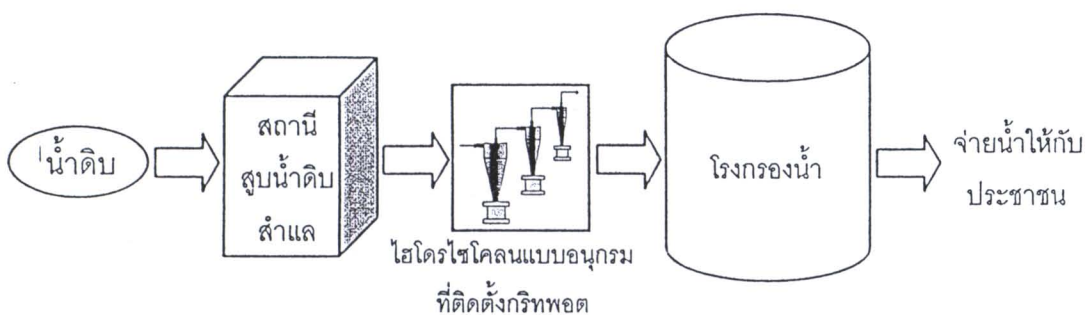
จากการทดลองสำหรับการจัดเรียงไฮโดรไทโคลนแบบอนุกรมที่ติดตั้งกริพอต เมื่อใช้เวลาในการดำเนินการในกริพอตแตกต่างกัน ดังแสดงในรูปที่ 4.15 ถึง 4.17 พบร่วมกัน สำหรับเวลาในการดำเนินการทดลอง อนุภาคที่มีขนาดใหญ่จะหลอดอกสู่ทางออกด้านล่างของไฮโดรไทโคลนด้วยการหมุนวนภายใต้แรงโน้มถ่วงและเกิดการสะสมตัวอยู่ภายใต้แรงโน้มถ่วง โดยที่น้ำใสและอนุภาคขนาดเล็กไหลย้อนกลับผ่านช่องแคบรอบแกนอากาศออกสู่ทางออกด้านบนด้วยการหมุนวนภายใต้แรงโน้มถ่วง ซึ่งจากการทดลอง พบร่วมกันที่สะสมตัวอยู่ภายใต้แรงโน้มถ่วง โดยจากการสังเกตเห็นว่ามีตะกอนอยู่ไม่เต็มกริพอต ดังนั้นของแข็งแหวนลอยที่มีขนาดใหญ่ที่สะสมตัวอยู่ในกริพอตจะมีโอกาสไหลย้อนกลับออกไปทางด้านบนเพียงเล็กน้อย จึงอาจกล่าวได้ว่า การเพิ่มเวลาที่ใช้ในกริพอตในงานวิจัยนี้ ส่งผลต่อประสิทธิภาพในการแยกของแข็งแหวนโดยในไฮโดรไทโคลนเพียงเล็กน้อย เนื่องจากตะกอนที่สะสมตัวอยู่ในกริพอตนั้นไม่เต็มกริพอต และในส่วนของความเข้มข้นของแข็งแหวนโดยที่สะสมตัวอยู่ในกริพอตจะมีความเข้มข้นเพิ่มมากขึ้น ซึ่งการทดลองในส่วนนี้พบว่ามีความสอดคล้องกับผลงานวิจัยของ Puprasert, 2004 ที่กล่าวไว้ว่า กริพอตจะติดอยู่ที่ทางออกด้านล่างของไฮโดรไทโคลน ทำหน้าที่คล้ายถังตักตะกอนขนาดเล็ก และความเข้มข้นของแข็งแหวนโดยจะแปรผันตามเวลาที่ใช้ในกริพอต เมื่อตะกอนที่สะสมตัวอยู่ในกริพอตมากเกินไปจนกริพอตเต็มตะกอนจะไหลย้อนกลับออกไปที่ทางออกด้านบน ทำให้ประสิทธิภาพในการแยกของแข็งแหวนลดลง โดยจากการวิจัยนี้ ผู้ทำการวิจัยมีความเห็นว่าควรจะนำไปทดลองใช้กับน้ำที่มีความเข้มข้นมากกว่านี้ เพื่อให้กริพอตเต็ม จะทำให้เห็นผลที่เกิดขึ้นจากการที่กริพอตเต็มได้ชัดเจนขึ้น

#### 4.6 ปริมาณสลัดฯที่ลดลงเมื่อผ่านไฮโดรไฮคลอนแบบอนุกรมที่ติดตั้งกริพอต

ในระบบผลิตน้ำประปาในปัจจุบัน การประปานครหลวงได้มีการสูบน้ำดิบจากแม่น้ำเจ้าพระยาตามยังสถานีสูบน้ำดิบสำเلاء และจะส่งน้ำดิบโดยคลองประปาซึ่งมีระยะทางประมาณ 31 กิโลเมตร (การประปานครหลวง, www.mwa.co.th) ไปยังโรงกรองน้ำเพื่อเข้าสู่ระบบผลิตน้ำประปา จากนั้นจึงสูบจ่ายน้ำให้กับประชาชน ดังแสดงในรูปที่ 4.25 (ก) ระบบผลิตน้ำประปาในปัจจุบัน สำหรับในงานวิจัยนี้มีจุดมุ่งหมายในการลดปริมาณของแข็งแขวนลอยก่อนเข้าสู่ระบบผลิตน้ำประปาและลดปริมาณสารเคมีที่ต้องเติมลงไปในระบบผลิตน้ำประปาก่อนอย่างลึกซึ้ง ดังรูปที่ 4.25 (ข) เพื่อที่จะคำนวณว่าเมื่อนำไฮโดรไฮคลอนมาติดตั้งก่อนเข้าสู่ระบบผลิตน้ำประปามากแล้ว จะช่วยลดปริมาณของแข็งแขวนลอยและปริมาณของสารเคมีที่ใช้ได้มากน้อยเพียงใด



(ก) ระบบผลิตน้ำประปาในปัจจุบัน



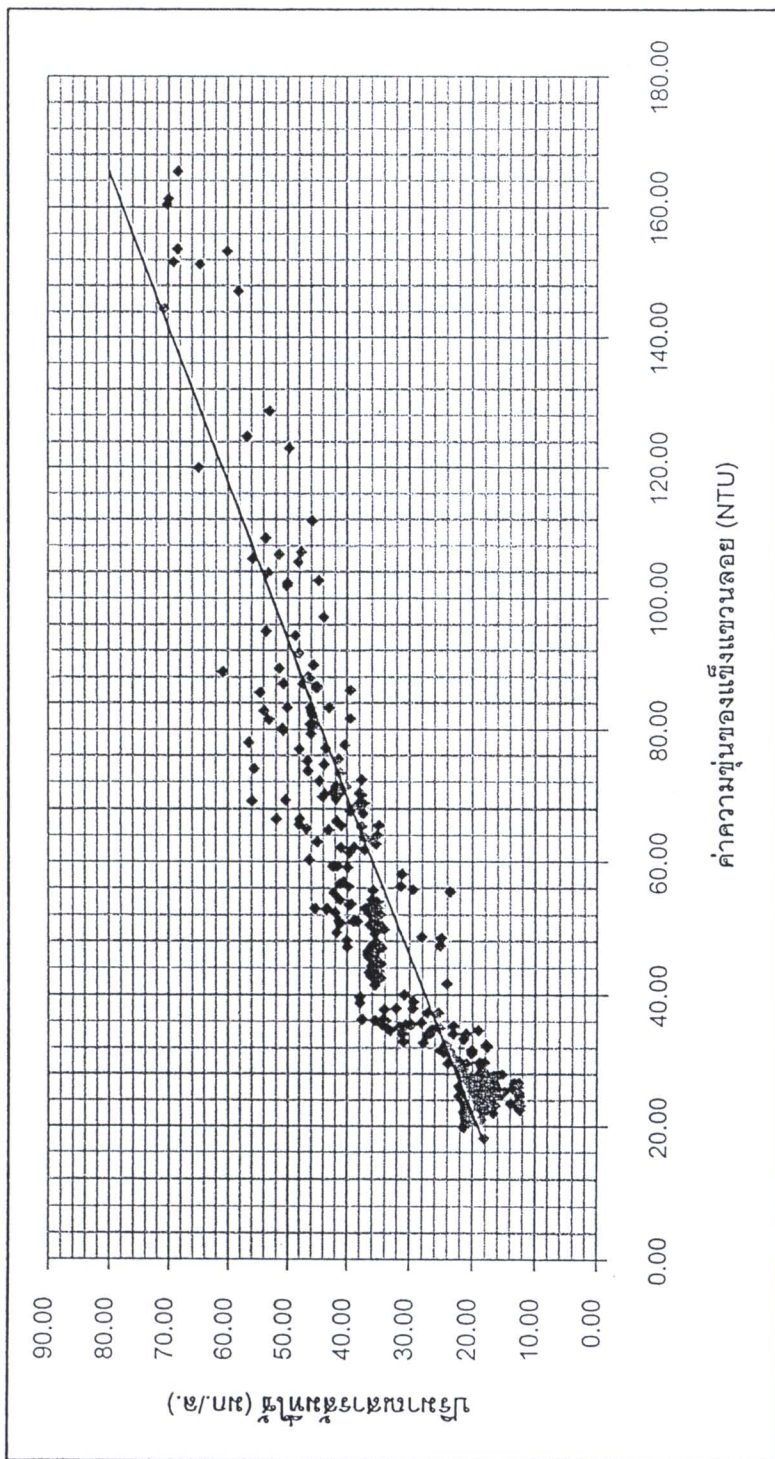
(ข) จำลองระบบผลิตน้ำประปามีติดตั้งไฮโดรไฮคลอน

แบบอนุกรมเป็นหน่วยบำบัดขั้นต้นในการผลิตน้ำประปา

รูปที่ 4.25 แผนผังแสดงระบบผลิตน้ำประปา (ก) ระบบผลิตน้ำประปาในปัจจุบัน และ (ข) จำลองระบบผลิตน้ำประปามีติดตั้งไฮโดรไฮคลอนแบบอนุกรมเป็นหน่วยบำบัดขั้นต้นในการผลิตน้ำประปา

ในกระบวนการผลิตน้ำประปานั้นจะมีการเติมสารเคมี คือ ปูนขาว คลอรีน และสารสัมโดยในการเติมสารสัมนั้นก็เพื่อกำจดของแข็งแขวนลอยที่มีอยู่ในน้ำดิน ซึ่งงานวิจัยนี้จะสนับได้สารสัมเพียงชนิดเดียว ดังนั้นหลังผ่านกระบวนการผลิตน้ำประปาแล้วจะมีสัดส่วนที่ต่ำลง ซึ่งส่วนประกอบของสัดส่วนนั้นก็คือปริมาณของแข็งแขวนลอยและสารสัม โดยในงานวิจัยนี้จะทำการศึกษาหาปริมาณสัดส่วนที่ลดลงหลังผ่านไทรโอลนแบบอนุกรมที่ติดตั้งกรีฟพอด ซึ่งการหาปริมาณสัดส่วนที่ลดลง จะทำการคำนวณปริมาณสัดส่วนที่เกิดขึ้นจากทั้งระบบ (ก) และ (ข) หลังผ่านกระบวนการผลิตน้ำประปา แล้วนำมาทำการเปรียบเทียบกัน

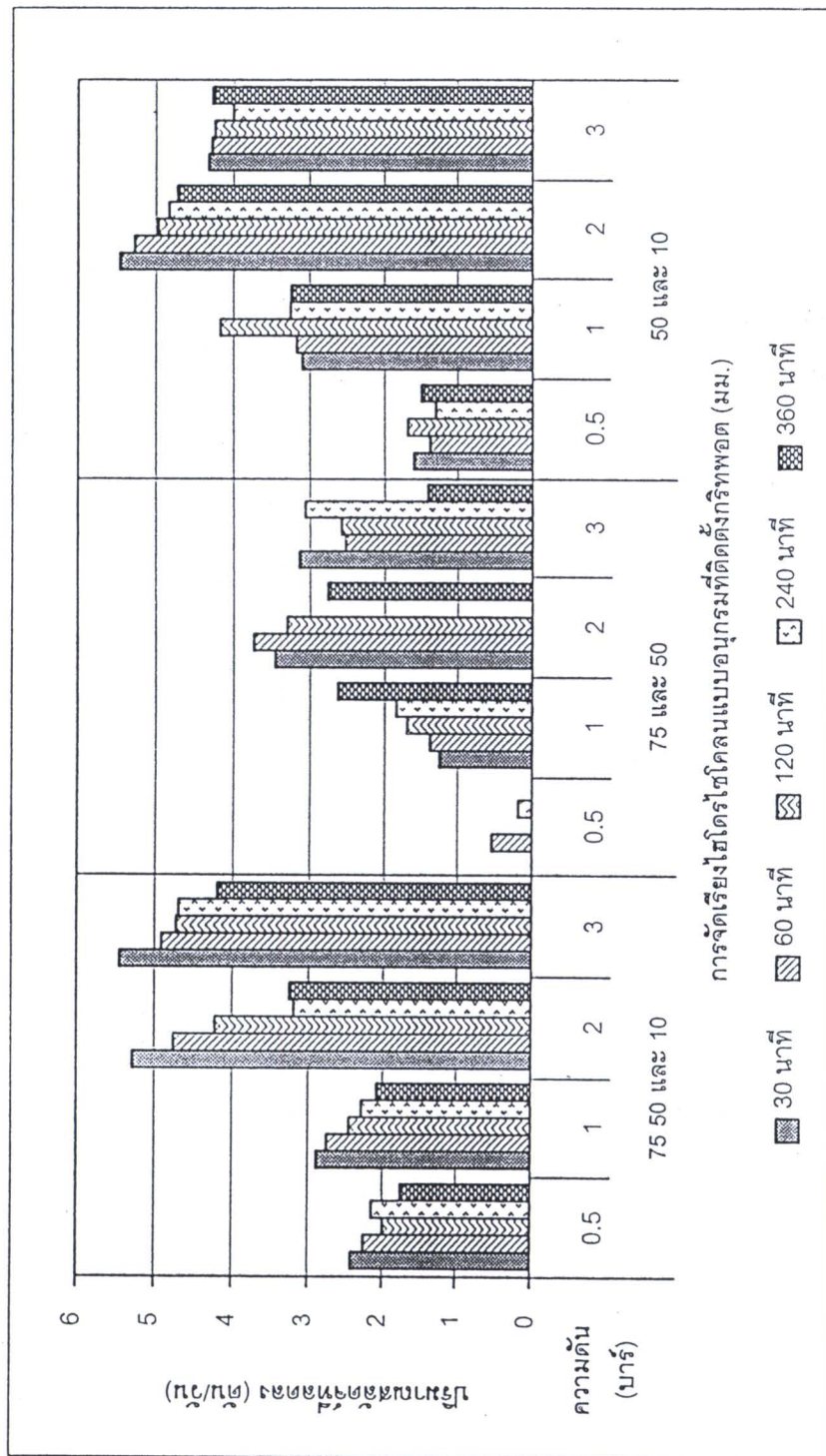
สำหรับการคำนวณปริมาณสัดส่วนที่เกิดขึ้นทั้งระบบ (ก) และ (ข) สามารถคำนวณได้จากปริมาณของแข็งแขวนลอยที่แยกได้และปริมาณสารสัมที่เติมลงไป โดยปริมาณสารสัมที่นำมาใช้ในการคำนวณ ได้มาจากข้อมูลการปฏิบัติงานจริงของกองวิเคราะห์คุณภาพน้ำ จากการประปานครหลวง (การประปานครหลวง, 2553) โดยที่หน่วยวิเคราะห์คุณภาพน้ำนี้จะทำการทดลองทุกวันโดยใช้jar-test เพื่อหาปริมาณสารสัมที่ต้องเติมลงไป ซึ่งปริมาณสารสัมที่นำมาใช้ในงานวิจัยนี้จะขึ้นอยู่กับค่าความชุ่นเพียงอย่างเดียว แต่ในการปฏิบัติงานจริงของการประปานครหลวง นอกจากค่าความชุ่นแล้ว ยังมีค่าตัวแปรอื่นๆ คือ ค่าความเป็นกรด-ด่าง (pH) ภาวะความเป็นด่าง (alkalinity) ค่าการนำไฟฟ้า (conductivity) มาใช้เป็นข้อมูลในการเติมสารสัม โดยจากการทดลองทำjar-test ของการประปานครหลวงแล้ว จึงนำค่าต่างๆ มาเขียนเป็นกราฟได้ค่าดังรูปที่ 4.26 จากนั้นนำมาใช้ในการประมาณการหาปริมาณสารสัมที่ใช้จากค่าความชุ่นต่างๆ ที่ได้จากการทดลอง (การคำนวณดังแสดงในภาคผนวก ง)



รูปที่ 4.26 กราฟความถี่เมืองพัฒน์ร่องห่วงค่าความถี่เมืองพัฒน์ร่องห่วงและปริมาณสารสกปรกที่ได้ติดลงในระบบปฏิสัต្តาในระบบปฏิสัต្តาในระบบปฏิสัต្តา

(การประเมินคุณภาพ, 2553)

จากการคำนวณปริมาณสลัดจ์ที่ลดลงหลังจากการจำลองการติดตั้งไฮโดรไซโคลนแบบอนุกรมที่ติดตั้งกริพอตเป็นหน่วยบำบัดขั้นต้นในการผลิตน้ำประปาของไฮโดรไซโคลนแบบอนุกรมในทุกการจัดเรียงแบบอนุกรม ที่ความดัน 0.5 1 2 และ 3 บาร์ โดยปริมาณน้ำที่แหล่งเข้าในระบบจะใช้ข้อมูลของการประปานครหลวง ที่โรงกรองน้ำสามเสนในช่วงตลอดปี 2552 ซึ่งมีอัตราแหล่งเข้าสู่ระบบผลิตน้ำประปาเฉลี่ย 500,348 ลบ.ม./วัน (การคำนวณแสดงในตารางภาคผนวก ๑) พบว่า ไฮโดรไซโคลนแบบอนุกรมเส้นผ่านศูนย์กลาง 75 50 และ 10 มิลลิเมตร ที่ความดัน 3 บาร์ เวลาที่ใช้ดำเนินการในกริพอต 30 นาที ให้ปริมาณสลัดจ์ที่ลดลงมากที่สุด คือ 5.54 ตัน/วัน ไฮโดรไซโคลนแบบอนุกรมเส้นผ่านศูนย์กลาง 75 และ 50 มิลลิเมตร ที่ความดัน 2 บาร์ เวลาที่ใช้ดำเนินการในกริพอต 60 นาที ให้ปริมาณสลัดจ์ที่ลดลงมากที่สุด คือ 4.08 ตัน/วัน และไฮโดรไซโคลนแบบอนุกรมเส้นผ่านศูนย์กลาง 50 และ 10 มิลลิเมตร ที่ความดัน 2 บาร์ เวลาที่ใช้ดำเนินการในกริพอต 30 นาที ให้ปริมาณสลัดจ์ที่ลดลงมากที่สุด คือ 5.85 ตัน/วัน ดังรูปที่ 4.27



รูปที่ 4.27 ปริมาณสัดส่วนของเม็ดตัวตั้งภาชนะที่ติดไฟยูโรบอตในคลังแบบอนุกรมที่ติดตั้งบริเวณห้องทดลอง ทุกชุดการรุจัดเตรียมแบบอนุกรุณ

จากการสอบถ้ามีข้อมูลจากบริษัท เบตเตอร์ เวิลด์ กรีน จำกัด (มหาชน) (บริษัท เบตเตอร์ เวิลด์ กรีน จำกัด (มหาชน), 2553) ค่ากำจัดสลัดจ์ที่ได้จากการผลิตน้ำประปา คิดเป็นเงิน 9,000-10,000 บาท/ตัน ซึ่งราคาจะคิดตามสภาพความเป็นกรดของสลัดจ์ที่เกิดขึ้น และจากการสอบถ้ามีข้อมูลราคาสารเคมีจากกองวิเคราะห์คุณภาพน้ำ การประปานครหลวง (การประปานครหลวง, 2553) พบว่า สารเคมีมีราคา 4,432 บาท/ตัน โดยในตารางที่ 4.9 แสดงปริมาณสลัดจ์ที่ลดลงและค่าใช้จ่ายที่ลดลงจากการนำการจัดเรียงไฮโดรไทร์โคลนแบบอนุกรมที่ติดตั้งกริพอตมาติดตั้งเป็นหน่วยบำบัดขึ้นต้นก่อนเข้าสู่ระบบผลิตน้ำประปา (รายละเอียดการคำนวณแสดงในภาคผนวก ง)

ในการติดตั้งไฮโดรไทร์โคลนแบบอนุกรมที่ติดตั้งกริพอตนี้ ทำให้มีค่าไฟฟ้าจากปั๊มน้ำสูบนำเข้าสู่ไฮโดรไทร์โคลนด้วย ดังนั้นจึงต้องนำค่าไฟฟ้ามาคำนวณด้วย โดยในการคำนวณจะคำนวณค่าไฟฟ้าโดยใช้อัตราตามช่วงเวลาของการใช้ (Time of use Rate : TOU) ซึ่งค่าพลังงานไฟฟ้าสูงสุดเท่ากับ 2.695 บาท/กิโลวัตต์-ชั่วโมง อัตราการให้เลือกของน้ำดิบสูงสุด 30,000 ลูกบาศก์เมตร/ชั่วโมง ดังตารางที่ 4.9 (รายละเอียดการคำนวณแสดงในภาคผนวก ง)

ตารางที่ 4.9 ปริมาณสลัดจ์ที่ลดลงและค่าใช้จ่ายที่ลดลงจากการนำการจัดเรียงไฮโดรไทร์โคลนแบบอนุกรมที่ติดตั้งกริพอตมาติดตั้งเป็นหน่วยบำบัดขึ้นต้นก่อนเข้าสู่ระบบผลิตน้ำประปา

| ค่าที่ได้จากการคำนวณ                           | ชุดการจัดเรียงไฮโดรไทร์โคลนแบบอนุกรมที่ติดตั้งกริพอต (มม.) |        |        |        |
|--|--|--------|--------|--------|
|  | 75 50 10   | 75 50  | 50 10  |        |
| ปริมาณสลัดจ์ที่ลดลง<br>(ตัน/วัน)               | ต่ำสุด*  | 1.80   | 0      | 1.42   |
|  | สูงสุด*  | 5.54   | 4.08   | 5.85   |
| ปริมาณสลัดจ์ที่ลดลง (เบอร์เช็นต์)              | ต่ำสุด*  | 7.50   | 0      | 4.70   |
|  | สูงสุด*  | 16.70  | 11.50  | 19.84  |
| ค่าใช้จ่ายในการกำจัดสลัดจ์ที่ลดลง<br>(บาท/วัน) | ต่ำสุด*  | 17,064 | 0      | 13,452 |
|  | สูงสุด*  | 52,619 | 38,787 | 55,614 |
| ปริมาณสารเคมีที่ลดลง<br>(ตัน/วัน)              | ต่ำสุด*  | 0      | 0      | 0.15   |
|  | สูงสุด*  | 0.55   | 0.75   | 1.30   |
| ค่าใช้จ่ายของปริมาณสารเคมีที่ลดลง<br>(บาท/วัน) | ต่ำสุด*  | 0      | 0      | 665    |
|  | สูงสุด*  | 2,439  | 3,326  | 5,766  |
| ค่าไฟฟ้าของไฮโดรไทร์โคลน (บาท/วัน)             |  | 3,216  | 3,216  | 3,216  |
| รวมค่าใช้จ่ายที่ลดลงทั้งหมด<br>(บาท/วัน)       | สูงสุด*  | 50,290 | 38,897 | 56,168 |

\* ค่าต่ำสุดและค่าสูงสุด ขึ้นอยู่กับพารามิเตอร์ที่ควบคุมการทำงาน เช่น ความดันจ่ายเข้า เวลาที่ใช้ดำเนินการในกริพอต เป็นต้น

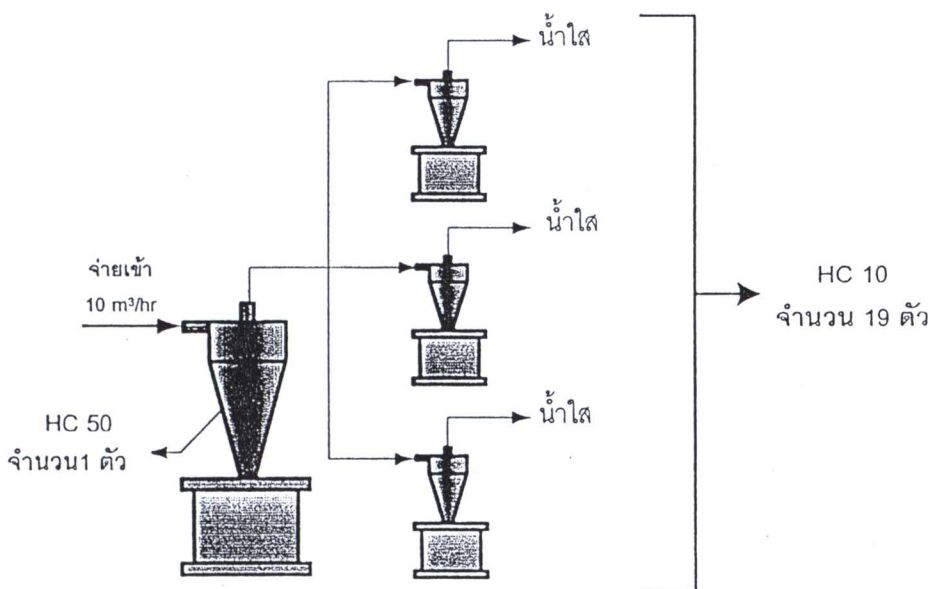
จากตารางที่ 4.9 เมื่อเปรียบเทียบปริมาณสลัดจ์และค่าใช้จ่ายในการกำจัดสลัดจ์ที่ลดลงจากการใช้การจัดเรียงไฮโดรไชโคลนแบบอนุกรมที่ติดตั้งกริพtot พบร่วมกับการจัดเรียงไฮโดรไชโคลนแบบอนุกรมขนาดเส้นผ่านศูนย์กลาง 50 และ 10 มิลลิเมตร สามารถลดปริมาณสลัดจ์ได้มากที่สุด คือ 5.85 ตัน/วัน และสามารถลดค่าใช้จ่ายในการกำจัดสลัดจ์ได้มากที่สุด คือ 55,614 บาท/วัน ซึ่งสอดคล้องกับการวิเคราะห์ผลเรื่องประสิทธิภาพในการแยกของแข็งแղวนลอยที่กล่าวไว้ว่า ไฮโดรไชโคลนแบบอนุกรมขนาดเส้นผ่านศูนย์กลาง 50 และ 10 มิลลิเมตร มีประสิทธิภาพในการแยกปริมาณของแข็งแղวนลอยมากที่สุด และเมื่อมาดูที่ปริมาณสารสัมที่ลดลงและค่าใช้จ่ายของปริมาณสารสัมที่ลดลงแล้ว พบร่วมกับการจัดเรียงไฮโดรไชโคลนแบบอนุกรมขนาดเส้นผ่านศูนย์กลาง 50 และ 10 มิลลิเมตร อีกเช่นเดียวกันที่สามารถลดปริมาณสารสัมที่ลดลงแล้ว คือ 1.30 ตัน/วัน และลดค่าใช้จ่ายของปริมาณสารสัมที่ลดลงแล้ว คือ 5,766 บาท/วัน แต่เมื่อหักค่าใช้ไฟฟ้าของไฮโดรไชโคลน 3,214 บาท/วัน แล้วรวมค่าใช้จ่ายที่ลดลงทั้งหมดจะเท่ากับ 56,168 บาท/วัน

แต่จากการที่ 4.9 จะเห็นได้ว่าไฮโดรไชโคลนแบบอนุกรมขนาดเส้นผ่านศูนย์กลาง 75 50 และ 10 มิลลิเมตร สามารถลดปริมาณสลัดจ์ได้ใกล้เคียงกับไฮโดรไชโคลนแบบอนุกรมขนาดเส้นผ่านศูนย์กลาง 50 และ 10 มิลลิเมตร แต่เมื่อเปรียบเทียบในเรื่องประสิทธิภาพการแยกของแข็งแղวนลอยและจำนวนไฮโดรไชโคลนที่ทำการจัดเรียงแล้ว พบร่วมกับไฮโดรไชโคลนแบบอนุกรมขนาดเส้นผ่านศูนย์กลาง 50 และ 10 มิลลิเมตร เป็นการจัดเรียงไฮโดรไชโคลนแบบอนุกรมเพียงสองตัวเท่านั้น ทำให้ประหยัดพื้นที่ในการติดตั้ง ลดความยุ่งยากในการติดตั้ง และลดค่าใช้จ่ายในการบำรุงรักษาอีกด้วย

ดังนั้นจึงสามารถสรุปได้ว่าการใช้ไฮโดรไชโคลนแบบอนุกรมที่ติดตั้งกริพtot สามารถลดปริมาณสลัดจ์ก่อนเข้าสู่ระบบผลิตน้ำประปาได้ โดยสามารถรวมตะกอนที่สะสมอยู่ภายในกริพtot ไปกำจัดได้โดยง่าย ในขณะที่น้ำใสและมีของแข็งแղวนลอยบางส่วนที่หลอกอุทกทั่วบนของไฮโดรไชโคลนเข้าสู่ระบบผลิตน้ำประปา ซึ่งจากการทดลองแสดงให้เห็นว่า น้ำใสและของแข็งแղวนลอยบางส่วนที่หลอกเข้าสู่ระบบผลิตน้ำประปานี้มีค่าลดลง ทำให้สามารถลดปริมาณการเติมสารเคมีในขั้นตอน Coagulation-Flocculation ในระบบผลิตน้ำประปาให้น้อยลง ผลให้สลัดจ์ที่เกิดจากสารสัมที่เป็นสลัดจ์ที่ทำการกำจัดได้ยากมีปริมาณลดลง อีกทั้งยังสามารถลดค่าใช้จ่ายในการกำจัดสลัดจ์ที่เกิดขึ้นในระบบผลิตน้ำประปาได้อีกด้วย

จากการวิจัยนี้ สามารถออกแบบไฮโดรไชโคลนแบบอนุกรมที่ติดตั้งกริพtot เพื่อเป็นหน่วยบำบัดขั้นต้นในการผลิตน้ำประปาได้ โดยสามารถใช้กับการผลิตน้ำประปาน้ำหมุนขนาดเล็ก เช่น การประปาของชุมชน เป็นต้น โดยสมมติค่าตัวไอลเข้าของน้ำดิบ 100 ลูกบาศก์เมตร/ชั่วโมง และเลือกไฮโดรไชโคลนแบบอนุกรมที่ติดตั้งกริพtot ที่มีประสิทธิภาพในการแยกของแข็งแղวนลอย

ของไฮโดรไซโคลนมากที่สุด นั่นคือ การใช้ไฮโดรไซโคลนแบบอนุกรมขนาดเส้นผ่านศูนย์กลาง 50 และ 10 มิลลิเมตร ที่ติดตั้งกริพพอต ซึ่งไฮโดรไซโคลนขนาด 50 มิลลิเมตรสามารถรับอัตราการไหลของน้ำดิบได้สูงสุด 10 ลูกบาศก์เมตร/ชั่วโมง ที่ความดัน 3 บาร์ ตั้งนั้นจึงเลือกใช้ไฮโดรไซโคลนขนาด 50 มิลลิเมตร ที่ติดตั้งกริพพอต จำนวน 10 ตัว ต่อขนาดกัน และสำหรับไฮโดรไซโคลนขนาด 10 มิลลิเมตร สามารถรับอัตราการไหลของน้ำดิบได้สูงสุด 0.55 ลูกบาศก์เมตร/ชั่วโมง ที่ความดัน 3 บาร์ ตั้งนั้นจึงเลือกใช้ไฮโดรไซโคลนขนาด 10 มิลลิเมตร ที่ติดตั้งกริพพอต จำนวน 19 ตัว ต่อขนาดกันจากไฮโดรไซโคลนขนาด 50 มิลลิเมตร ที่ติดตั้งกริพพอต แต่ละตัว รวมใช้ไฮโดรไซโคลนขนาด 10 มิลลิเมตร ที่ติดตั้งกริพพอต จำนวน 190 ตัว ตั้งแสดงในรูปที่ 4.28 (รายละเอียดการคำนวณแสดงในภาคผนวก ๑)



รูปที่ 4.28 การใช้ไฮโดรไซโคลนแบบอนุกรมขนาดเส้นผ่านศูนย์กลาง 50 และ 10 มิลลิเมตร ที่ติดตั้งกริพพอต โดยการต่อแบบขาน

อย่างไรก็ตามการคำนวณหาจำนวนไฮโดรไซโคลนแบบอนุกรมที่ติดตั้งกริพพอตเป็นเพียงแนวคิดเท่านั้น หากต้องการใช้ไฮโดรไซโคลนแบบอนุกรมที่ติดตั้งกริพพอตจริง จะต้องคำนึงถึงการติดตั้งไฮโดรไซโคลน กริพพอต ระบบห่อในการจ่ายน้ำ และอื่นๆ อีกมากมาย

#### 4.7 ขนาดอนุภาคที่แยกได้จากการจัดเรียงไฮโดรไซโคลนแบบอนุกรมที่ติดตั้งกริพอต

ในงานวิจัยนี้ได้ดำเนินการทดลองโดยใช้น้ำดิบจริง ซึ่งขนาดอนุภาคที่จ่ายเข้าไฮโดรไซโคลนจะแตกต่างกันไปตามสภาพแวดล้อม เวลาที่ดำเนินการทดลอง ดังนั้นผู้วิจัยจึงได้ทำการเปรียบเทียบประสิทธิภาพในการแยกของแข็งhexagonal ในแบ่งของขนาดอนุภาค ( $D_{50}$ ) ที่ถูกแยกออกจากไฮโดรไซโคลนที่ทางออกด้านบน (Overflow) และทางออกด้านล่าง (Underflow) กับขนาดอนุภาคที่จ่ายเข้า (Feed) ซึ่งสามารถแสดงได้จาก %GE (Granulometric separation efficiency) (Puprasert, 2004) ดังที่กล่าวในหัวข้อ 2.5.6 ในส่วนการให้ผลของการทางด้านบนสามารถคำนวณได้จากสมการที่ 2.39 ดังสมการต่อไปนี้

$$\% \text{ GE} = \frac{D_{50} \text{ Feed} - D_{50} \text{ Overflow}}{D_{50} \text{ Feed}} \times 100 \quad (2.39)$$

และในส่วนการให้ผลของการทางด้านล่าง สามารถคำนวณได้จากสมการที่ 2.40 ดังสมการต่อไปนี้

$$\% \text{ GE} = \frac{D_{50} \text{ Underflow} - D_{50} \text{ Feed}}{D_{50} \text{ Feed}} \times 100 \quad (2.40)$$

##### 4.7.1 การจัดเรียงไฮโดรไซโคลนแบบอนุกรมขนาดเส้นผ่าศูนย์กลาง 75 50 และ 10 มิลลิเมตร ที่ติดตั้งกริพอต

ผลการทดลองขนาดอนุภาคที่แยกได้จากการจัดเรียงไฮโดรไซโคลนแบบอนุกรมขนาดเส้นผ่าศูนย์กลาง 75 50 และ 10 มิลลิเมตร ที่ติดตั้งกริพอต แสดงในตารางที่ 4.10 และ 4.11

ตารางที่ 4.10 ขนาดอนุภาคเฉลี่ย ( $D_{50}$ ) และค่าเบี่ยงเบนมาตรฐานของขนาดอนุภาค (SD) ที่แยกได้จากการจัดเรียงไฮโดรไซโคลนแบบอนุกรมขนาดเส้นผ่าศูนย์กลาง 75 50 และ 10 มิลลิเมตร ที่ติดตั้งกริพอต

| ความดัน<br>(บาร์) | เวลาที่ใช้<br>ในกริพอต<br>(นาที) | ขนาดอนุภาคเฉลี่ย ( $D_{50}$ ) (ไมครอน) |                 |                  |                 |          |       |       |                 |       |      |
|-------------------|----------------------------------|--|-----------------|------------------|-----------------|----------|-------|-------|-----------------|-------|------|
|                   |                                  | จ่ายเข้า                               |                 | ทางออก<br>ด้านบน |                 | ในกริพอต |       |       |                 |       |      |
|                   |                                  | $D_{50}$                               | SD <sup>*</sup> | $D_{50}$         | SD <sup>*</sup> | $D_{50}$ |       |       | SD <sup>*</sup> |       |      |
| 0.5               | 30 - 360                         | 10.32                                  | 0.43            | 9.40             | 0.44            | 21.14    | 19.79 | 19.16 | 5.84            | 4.21  | 6.51 |
| 1.0               |                                  | 10.20                                  | 0.43            | 9.42             | 0.29            | 26.72    | 23.34 | 19.69 | 5.64            | 6.88  | 6.76 |
| 2.0               |                                  | 9.02                                   | 0.76            | 8.41             | 0.52            | 28.94    | 35.51 | 22.11 | 9.80            | 18.10 | 5.93 |
| 3.0               |                                  | 11.14                                  | 0.31            | 9.37             | 0.24            | 31.48    | 35.12 | 22.82 | 12.07           | 12.09 | 5.36 |

\* SD หมายถึง ค่าเบี่ยงเบนมาตรฐาน (Standard deviation)

ตารางที่ 4.11 % GE ที่แยกได้จากการจัดเรียงไฮดร่าไซโคลนแบบอนุกรมขนาดเส้นผ่านศูนย์กลาง 75 50 และ 10 มิลลิเมตร ที่ติดตั้งกรีฑพอด

| ความดัน<br>(บาร์) | เวลาที่ใช้<br>ในกรีฑพอด<br>(นาที) | Granulometric separation efficiency (%) |           |        |        |
|-------------------|-----------------------------------|---|-----------|--------|--------|
|                   |                                   | ทางออก<br>ด้านบน                        | ในกรีฑพอด |        |        |
|                   |                                   |   | HC 75     | HC 50  | HC 10  |
| 0.5               | 30                                | 10.03                                   | 42.10     | 40.48  | 7.09   |
|                   | 60                                | 9.14                                    | 74.90     | 77.01  | 55.11  |
|                   | 120                               | 3.23                                    | 108.22    | 97.01  | 82.58  |
|                   | 240                               | 10.68                                   | 122.90    | 112.36 | 131.76 |
|                   | 360                               | 11.27                                   | 168.59    | 126.97 | 143.34 |
| 1.0               | 30                                | 7.90                                    | 74.89     | 42.35  | 27.65  |
|                   | 60                                | 10.12                                   | 132.95    | 63.22  | 40.65  |
|                   | 120                               | 10.38                                   | 169.35    | 148.61 | 65.68  |
|                   | 240                               | 5.00                                    | 190.95    | 178.10 | 134.42 |
|                   | 360                               | 4.66                                    | 251.59    | 224.53 | 208.80 |
| 2.0               | 30                                | 6.34                                    | 125.41    | 86.82  | 64.03  |
|                   | 60                                | 9.26                                    | 128.60    | 124.06 | 91.73  |
|                   | 120                               | 5.77                                    | 270.10    | 282.93 | 188.13 |
|                   | 240                               | 2.06                                    | 242.03    | 508.71 | 215.21 |
|                   | 360                               | 9.64                                    | 323.90    | 451.49 | 167.53 |
| 3.0               | 30                                | 17.52                                   | 92.86     | 60.85  | 41.62  |
|                   | 60                                | 19.98                                   | 103.45    | 157.10 | 77.73  |
|                   | 120                               | 17.62                                   | 112.68    | 217.16 | 97.60  |
|                   | 240                               | 10.92                                   | 274.76    | 310.35 | 140.16 |
|                   | 360                               | 13.24                                   | 336.71    | 334.64 | 168.70 |

**4.7.2 การจัดเรียงไฮโดรไซโคลนแบบอนุกรมขนาดเส้นผ่านศูนย์กลาง 75 และ 50 มิลลิเมตร ที่ติดตั้งกริพอต**

ผลการทดลองหาขนาดอนุภาคที่แยกได้จากการจัดเรียงไฮโดรไซโคลนแบบอนุกรมขนาดเส้นผ่านศูนย์กลาง 75 และ 50 มิลลิเมตร ที่ติดตั้งกริพอต แสดงในตารางที่ 4.12 และ 4.13

ตารางที่ 4.12 ขนาดอนุภาคเฉลี่ย ( $D_{50}$ ) และค่าเบี่ยงเบนมาตรฐานของขนาดอนุภาค (SD) ที่แยกได้จากการจัดเรียงไฮโดรไซโคลนแบบอนุกรมขนาดเส้นผ่านศูนย์กลาง 75 และ 50 มิลลิเมตร ที่ติดตั้งกริพอต

| ความดัน<br>(บาร์) | เวลาที่ใช้<br>ในกริพอต<br>(นาที) | ขนาดอนุภาคเฉลี่ย ( $D_{50}$ ) (ไมครอน) |      |              |      |          |       |       |       |
|-------------------|----------------------------------|--|------|--------------|------|----------|-------|-------|-------|
|                   |                                  | จ่ายเข้า                               |      | ทางออกด้านบน |      | ในกริพอต |       |       |       |
|                   |                                  | $D_{50}$                               | SD   | $D_{50}$     | SD   | $D_{50}$ | SD    | HC 75 | HC 50 |
| 0.5               | 30 - 360                         | 9.48                                   | 1.19 | 8.78         | 1.18 | 19.75    | 20.43 | 7.50  | 8.65  |
| 1.0               |                                  | 8.89                                   | 1.45 | 8.32         | 1.37 | 24.67    | 34.74 | 15.47 | 17.28 |
| 2.0               |                                  | 8.50                                   | 0.70 | 8.03         | 0.63 | 37.76    | 41.16 | 23.26 | 10.60 |
| 3.0               |                                  | 10.29                                  | 0.19 | 9.86         | 0.16 | 51.09    | 63.82 | 23.03 | 21.38 |

SD หมายถึง ค่าเบี่ยงเบนมาตรฐาน (Standard deviation)

ตารางที่ 4.13 % GE ที่แยกได้จากการจัดเรียงไฮโดรไซโคลนแบบอนุกรมขนาดเส้นผ่านศูนย์กลาง 75 และ 50 มิลลิเมตร ที่ติดตั้งกริพอต

| ความดัน<br>(บาร์) | เวลาที่ใช้ในกริพอต<br>(นาที) | Granulometric separation efficiency (%) |          |        |        |
|-------------------|------------------------------|---|----------|--------|--------|
|                   |                              | ทางออกด้านบน                            | ในกริพอต |        |        |
|                   |                              |   | HC 75    | HC 50  |        |
| 0.5               | 30 - 360                     | 30                                      | 4.68     | 26.32  | 13.30  |
|                   |                              | 60                                      | 7.44     | 39.70  | 49.31  |
|                   |                              | 120                                     | 8.32     | 54.00  | 78.08  |
|                   |                              | 240                                     | 8.39     | 203.29 | 168.26 |
|                   |                              | 360                                     | 8.48     | 273.87 | 324.86 |
| 1.0               | 30 - 360                     | 30                                      | 6.07     | 21.38  | 65.99  |
|                   |                              | 60                                      | 6.12     | 36.13  | 135.09 |
|                   |                              | 120                                     | 6.87     | 46.61  | 177.29 |
|                   |                              | 240                                     | 7.22     | 452.39 | 594.04 |
|                   |                              | 360                                     | 6.09     | 486.23 | 661.63 |

ตารางที่ 4.13 % GE ที่แยกได้จากการจัดเรียงไฮโดรไซโคลนแบบอนุกรมขนาดเส้นผ่านศูนย์กลาง 75 และ 50 มิลลิเมตร ที่ติดตั้งกริทพอต (ต่อ)

| ความดัน<br>(บาร์) | เวลาที่ใช้ในกริทพอต<br>(นาที) | Granulometric separation efficiency (%) |           |        |
|-------------------|-------------------------------|---|-----------|--------|
|                   |                               | ทางออกด้านบน                            | ในกริทพอต |        |
|                   |                               |   | HC 75     | HC 50  |
| 2.0               | 30                            | 10.56                                   | 33.99     | 223.79 |
|                   | 60                            | 4.16                                    | 88.58     | 262.66 |
|                   | 120                           | 4.27                                    | 401.81    | 480.76 |
|                   | 240                           | 5.65                                    | 478.15    | 402.42 |
|                   | 360                           | 2.54                                    | 766.98    | 580.73 |
| 3.0               | 30                            | 7.17                                    | 59.09     | 205.40 |
|                   | 60                            | 2.48                                    | 346.50    | 447.00 |
|                   | 120                           | 3.48                                    | 378.33    | 545.84 |
|                   | 240                           | 3.91                                    | 557.01    | 641.82 |
|                   | 360                           | 4.05                                    | 650.39    | 768.87 |

#### 4.7.3 การจัดเรียงไฮโดรไซโคลนแบบอนุกรมขนาดเส้นผ่านศูนย์กลาง 50 และ 10 มิลลิเมตร ที่ติดตั้งกริทพอต

ผลการทดลองขนาดอนุภาคที่แยกได้จากการจัดเรียงไฮโดรไซโคลนแบบอนุกรมขนาดเส้นผ่านศูนย์กลาง 50 และ 10 มิลลิเมตร ที่ติดตั้งกริทพอต แสดงในตารางที่ 4.14 และ 4.15

ตารางที่ 4.14 ขนาดอนุภาคเฉลี่ย ( $D_{50}$ ) และค่าเบี่ยงเบนมาตรฐานของขนาดอนุภาค (SD) ที่แยกได้จากการจัดเรียงไฮโดรไซโคลนแบบอนุกรมขนาดเส้นผ่านศูนย์กลาง 50 และ 10 มิลลิเมตร ที่ติดตั้งกริทพอต

| ความดัน<br>(บาร์) | เวลาที่ใช้<br>ในกริทพอต<br>(นาที) | ขนาดอนุภาคเฉลี่ย ( $D_{50}$ ) (ไมครอน) |                 |              |                 |           |                 |
|-------------------|-----------------------------------|--|-----------------|--------------|-----------------|-----------|-----------------|
|                   |                                   | จ่ายเข้า                               |                 | ทางออกด้านบน |                 | ในกริทพอต |                 |
|                   |                                   | $D_{50}$                               | SD <sup>*</sup> | $D_{50}$     | SD <sup>*</sup> | $D_{50}$  | SD <sup>*</sup> |
|                   |                                   |  |                 |              |                 | HC 50     | HC 10           |
| 0.5               | 30 - 360                          | 7.46                                   | 0.21            | 7.05         | 0.13            | 32.09     | 20.93           |
| 1.0               |                                   | 7.30                                   | 0.73            | 7.02         | 0.74            | 38.88     | 22.70           |
| 2.0               |                                   | 8.50                                   | 0.36            | 7.60         | 0.27            | 41.98     | 25.24           |
| 3.0               |                                   | 7.58                                   | 0.40            | 6.50         | 0.44            | 44.42     | 27.69           |
|                   |                                   |  |                 |              |                 | 15.01     | 7.55            |

\* SD หมายถึง ค่าเบี่ยงเบนมาตรฐาน (Standard deviation)

ตารางที่ 4.15 % GE ที่แยกได้จากการจัดเรียงไฮดร่าไซโคลนแบบอนุกรมขนาดเส้นผ่านศูนย์กลาง 50 และ 10 มิลลิเมตร ที่ติดตั้งกริทพอด

| ความดัน<br>(บาร์) | เวลาที่ใช้ในกริทพอด<br>(นาที) | Granulometric separation efficiency (%) |           |        |
|-------------------|-------------------------------|---|-----------|--------|
|                   |                               | ทางออกด้านบน                            | ในกริทพอด |        |
|                   |                               |   | HC 50     | HC 10  |
| 0.5               | 30                            | 5.81                                    | 61.69     | 36.48  |
|                   | 60                            | 3.61                                    | 88.24     | 77.90  |
|                   | 120                           | 5.66                                    | 194.75    | 99.70  |
|                   | 240                           | 5.51                                    | 545.95    | 206.09 |
|                   | 360                           | 7.04                                    | 779.52    | 478.08 |
| 1.0               | 30                            | 5.02                                    | 84.63     | 26.72  |
|                   | 60                            | 2.98                                    | 207.96    | 36.04  |
|                   | 120                           | 2.85                                    | 292.50    | 143.52 |
|                   | 240                           | 4.57                                    | 626.95    | 393.67 |
|                   | 360                           | 3.59                                    | 1062.14   | 521.63 |
| 2.0               | 30                            | 10.68                                   | 145.17    | 78.79  |
|                   | 60                            | 10.00                                   | 194.06    | 184.92 |
|                   | 120                           | 10.44                                   | 307.55    | 190.22 |
|                   | 240                           | 9.42                                    | 598.75    | 259.13 |
|                   | 360                           | 12.22                                   | 699.64    | 264.38 |
| 3.0               | 30                            | 15.65                                   | 248.34    | 126.97 |
|                   | 60                            | 16.14                                   | 324.93    | 208.58 |
|                   | 120                           | 14.88                                   | 524.11    | 311.03 |
|                   | 240                           | 13.84                                   | 689.15    | 331.67 |
|                   | 360                           | 11.69                                   | 643.22    | 345.90 |

น้ำดิบที่นำมาใช้ในการทดลองนี้เป็นน้ำดิบจริงจากสถานีสูบน้ำดิบสำราญ ดังนั้นขนาดอนุภาคของแข็งแขวนลอยที่เข้าสู่ไฮดร่าไซโคลนจึงมีขนาดที่แตกต่างกันในแต่ละการทดลอง และจากผลการวิเคราะห์ขนาดอนุภาคของแข็งแขวนลอยที่แยกได้จากการจัดเรียงไฮดร่าไซโคลนแบบอนุกรมที่ติดตั้งกริทพอด ดังแสดงในตารางที่ 4.11 4.13 และ 4.15 จะเห็นได้ว่า ขนาดอนุภาคเฉลี่ย ( $D_{50}$ ) ที่แยกออกทางด้านล่างของไฮดร่าไซโคลนมีขนาดใหญ่กว่าขนาดอนุภาคเฉลี่ยที่แยกออกทางด้านบนเสมอ ในขณะเดียวกันขนาดอนุภาคเฉลี่ยที่แยกออกทางออกด้านบนจะมีขนาดเล็กกว่าขนาดอนุภาคที่จ่ายเข้าอีกด้วย ซึ่งสอดคล้องกับทฤษฎีการทำงานของไฮดร่าไซโคลน ดังที่กล่าวไว้ในบทที่ 2

#### 4.7.4 ประสิทธิภาพในการแยกของแข็งแขวนลอยของการจัดเรียงไฮดร่าเซลล์แบบอนุกรมกับขนาดอนุภาค

จากการวิเคราะห์ขนาดอนุภาคที่จ่ายเข้าไฮดร่าเซลล์ พบร่วม ขนาดที่จ่ายเข้ามีค่าประมาณ 7.22 ไมครอน จะเห็นได้ว่าอนุภาคของแข็งแขวนลอยนั้นมีขนาดเล็ก จึงส่งผลให้ประสิทธิภาพในการแยกของแข็งแขวนลอยมีค่าต่ำ ซึ่งสอดคล้องกับทฤษฎีของสโตค (สมการที่ 2.11) กล่าวคือ ขนาดอนุภาค ( $d_p$ ) และความหนาแน่นของอนุภาค ( $\Delta\rho$ ) เป็นอีกตัวแปรที่ส่งผลต่อความเร็วในการตกตะกอน นั่นคือ เมื่ออนุภาคของแข็งแขวนลอยมีขนาดเล็ก ส่งผลให้ประสิทธิภาพในการแยกของแข็งแขวนลอยในไฮดร่าเซลล์มีค่าต่ำ ซึ่งจากการของสโตคจะเห็นได้ว่าขนาดอนุภาค ( $d_p$ ) จะอยู่ในรูปของกำลังสอง ( $d_p^2$ ) โดยที่  $d_p^2$  จะมีผลต่อประสิทธิภาพในการแยกของแข็งแขวนลอยในไฮดร่าเซลล์มากกว่าความหนาแน่นของอนุภาค

#### 4.7.5 พารามิเตอร์ที่มีผลต่อขนาดอนุภาคของแข็งแขวนลอยที่แยกได้จากการจัดเรียงไฮดร่าเซลล์แบบอนุกรมที่ติดตั้งกริพอต

จากการวิเคราะห์ขนาดอนุภาคของการจัดเรียงไฮดร่าเซลล์แบบอนุกรมที่ติดตั้งกริพอต 3 ชุดการทดลอง คือ ชุดแรกขนาดเส้นผ่านศูนย์กลาง 75 50 และ 10 มิลลิเมตร ชุดที่สอง 75 และ 50 มิลลิเมตร และชุดที่สาม 50 และ 10 มิลลิเมตร ที่ติดตั้งกริพอต ที่ความดัน 0.5 1 2 และ 3 บาร์ เวลาที่ใช้ดำเนินการในกริพอต 30 - 360 นาที พบร่วม

1. เมื่อพิจารณาในแต่ละการจัดเรียงไฮดร่าเซลล์แบบอนุกรมที่ติดตั้งกริพอต พบร่วม เมื่อเพิ่มความดันที่จ่ายเข้าสู่ไฮดร่าเซลล์ อนุภาคของแข็งแขวนลอยที่แยกได้จากไฮดร่าเซลล์มีขนาดไม่แตกต่างกันอย่างชัดเจน ซึ่งจากกล่าวได้ว่า ความดันไม่มีผลต่อประสิทธิภาพในการแยกของแข็งแขวนลอยในแบ่งของขนาดอนุภาคของการจัดเรียงไฮดร่าเซลล์แบบอนุกรมทุกการจัดเรียงที่ติดตั้งกริพอต เนื่องจากขนาดอนุภาคที่เข้าจ่ายเข้าสู่ไฮดร่าเซลล์มีขนาดค่อนข้างเล็ก และมีขนาดไม่แตกต่างกันอย่างเห็นได้ชัด

2. เมื่อเปรียบเทียบเวลาที่ใช้ดำเนินการในกริพอต พบร่วม เมื่อเวลาที่ใช้ในกริพอต เพิ่มขึ้น ค่า %GE ในกริพอตมีมากขึ้นตามไปด้วย และ %GE ที่ทางออกด้านบนมีแนวโน้มไม่ชัดเจน อาจเนื่องมาจาก เมื่อเวลาผ่านไป ปริมาณของแข็งแขวนลอยที่สะสมอยู่ในกริพอตนั้นมีจำนวนมากขึ้นแต่มีไม่เต็มกริพอต จึงทำให้ภายในกริพอตนั้นสามารถรับปริมาณของแข็งแขวนลอยได้อีก ส่งผลให้ %GE มีค่าสูงขึ้น แต่ถึงแม้ว่าปริมาณของแข็งแขวนลอยที่สะสมอยู่ใน

กริทพอตนั้นมีไม่เต็มกริทพอต ก็ยังมีอนุภาคขนาดใหญ่บางส่วนในลักษณะกลับไปที่ทางออกด้านบนได้

ดังที่ได้กล่าวในหัวข้อที่ 4.1.2 ที่กล่าวว่า เมื่อนำกริทพอตไปติดตั้งที่ทางออกด้านล่างของไฮโดรไรซ์โคลน ทำให้ของแข็งแขวนลอยที่สะสมในกริทพอตมีความเข้มข้นสูงมากขึ้น จึงเหมาะสมที่จะนำไปใช้งานมากกว่าการจัดเรียงไฮโดรไรซ์โคลนแบบอนุกรมที่ไม่ได้ติดตั้งกริทพอต

จากการทดลองในงานวิจัยนี้สามารถสรุปได้ว่า ไฮโดรไรซ์โคลนขนาดใหญ่ (ขนาดเส้นผ่านศูนย์กลาง 75 และ 50 มิลลิเมตร) สามารถแยกอนุภาคที่มีขนาดใหญ่ออกได้ และเมื่อเข้าสู่ไฮโดรไรซ์โคลนที่มีขนาดเล็ก (ขนาดเส้นผ่านศูนย์กลาง 10 มิลลิเมตร) จะพบว่ามีขนาดอนุภาคที่เล็กกว่าในไฮโดรไรซ์โคลนขนาดใหญ่ ดังนั้น จากผลการทดลองที่ได้สามารถพิสูจน์ได้ว่าในขณะที่ทำการทดลองนั้นสามารถลดโอกาสการเกิดการอุดตันไปได้มาก